

**SZEGEDI TUDOMÁNYEGYETEM
ELMÉLETI FIZIKAI TANSZÉK
KÍSÉRLETI FIZIKAI TANSZÉK**

TDK dolgozat

**Szupermasszív fekete lyuk kettősök által sugárzott
gravitációs hullámformák**

Tápai Márton
Fizika MSc szakos hallgató

Témavezetők:
Dr. Gergely Árpád László, egyetemi docens
Keresztes Zoltán, tudományos segédmunkatárs

Szeged, 2010

Tartalomjegyzék

1. Szupermasszív fekete lyukak és környezetük	1
2. Szupernehéz fekete lyuk kettősök	3
3. Gravitációs hullámformák 1.5 poszt-newtoni rendig, a vezető rendű spin-pálya kölcsönhatás figyelembe vételével	5
4. Szupernehéz fekete lyuk kettősök gravitációs sugárzásának jellemzői a LISA paramétertartományában	9
5. Kis tömegarányú fekete lyuk kettősök gravitációs hullámformái	12
6. Összegzés	14
7. Köszönetnyílvánítás	15
A. A gravitációs hullámformák közel-körpálya közelítésben	16
B. Gravitációs hullámforma kis tömegarány esetén	18

1. fejezet

Szupermasszív fekete lyukak és környezetük

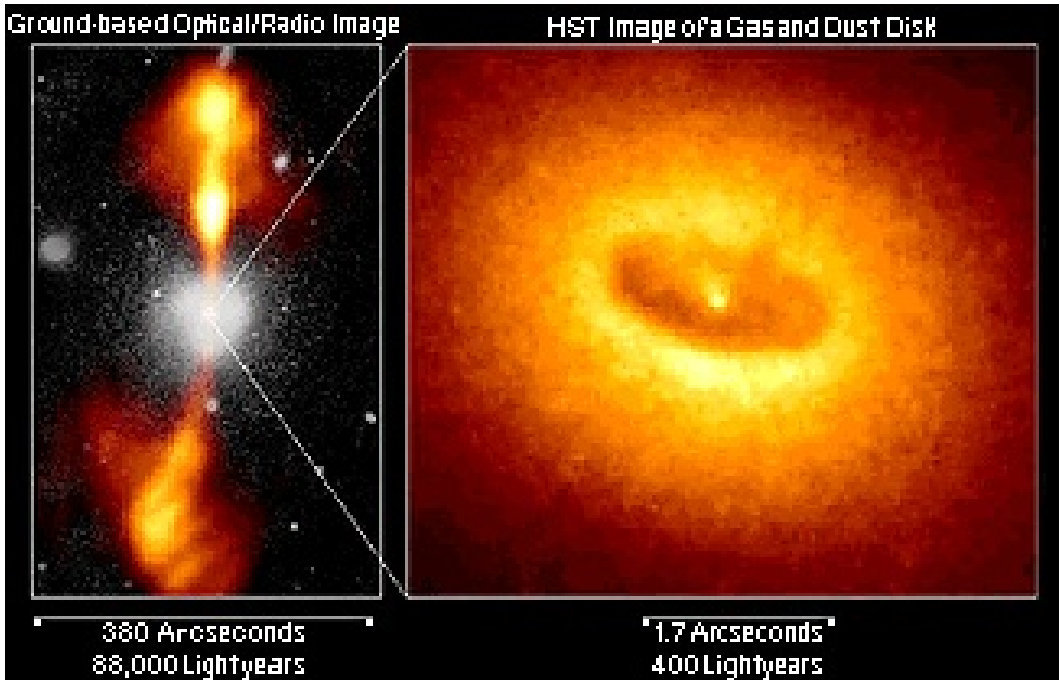
A fekete lyukak definíció szerint láthatatlanok, viszont ha környezetükben gáz található, a behulló anyag sugárzása megfigyelhetővé teszi őket. A spirálpályán keringő, akkretáló anyag plazma állapotú, így mágneses mezőt hoz létre, melynek poloidális szerkezete a pólusoknál nagy energiájú sugárzás kibocsátását teszi lehetővé. Az ily módon keletkező nyalábok szintén megfigyelhetők az elektromágneses sugárzás rádió tartományában, Very Long Baseline Interferometry (VLBI) technikákkal.

A fekete lyukakat tömegük szerint két csoportba soroljuk. Az első csoportba a $4 \div 40$ nap-tömegű (M_{\odot}) fekete lyukak tartoznak, ezek főként a galaxisunkon belül figyelhetők meg. Az ebben a tömegtartományban található ún. asztronómiai fekete lyukak ütközése és összeolvadása során keletkező gravitációs sugárzás kimutatására épültek a földfelszíni, interferometrikus alapon működő detektorok, a 4km karhosszúságú LIGO két berendezése Luisiana és Washington államokban, illetve a 3km karhosszúságú Virgo Pisa mellett. A gravitációs sugárzás detektálása nehéz feladat, hiszen a hullámok által okozott hosszúság változások $10^{-21} \div 10^{-22} m$ nagyságrendűek (a kvark méretének felső határa $10^{-17} m$). A rendszer vákuumban van, ez csökkenti a lézer fény szóródását. A lézer fényt a karokon sokszor visszaverik az effektív karhossz növelése céljából. A mérés során az interferenciáképet folyamatosan fenntartják a karok végén lévő tükrök precíz mozgatásával, és a mozgatások során kifejtett erőt mérik.

Az elméleti úton meghatározott gravitációs hullámformákat a matched filtering technikával keresik a zajos mérési adatokban (A jel amplitúdója összemérhető a zajjal). Bár az elmúlt év adatainak kiértékelése még nem fejeződött be, eddig minden összes különböző gravitációs hullám-források előfordulási gyakoriságára sikeresen sikerült felső határokat megállapítani. Ez nem meglepő ugyanis a jelenlegi műszerek érzékenységét véve alapul, minden összes néhány évenként érkező erős gravitációs hullám detektálására lehetett számolni. Folyamatban van viszont a LIGO berendezések teljes átépítése az érzékenység 1-2 nagyságrenddel való növelése céljából (új optika; új, aktív szeizmikus szigetelés; stb). Az Advanced LIGO berendezések várhatóan 2013 környékén kezdenek üzemelni [1]. Szintén tervezik a Virgo berendezés átépítését is.

A második csoportba a $10^6 \div 10^9$ nap-tömegű ún. szupernehéz fekete lyukak tartoznak. Ezek a legtöbb galaxis középpontjában megtalálhatók, aktív vagy „csendes” állapotban. Egy ilyen aktív galaxisról készült felvételt láthatunk az 1.1 ábrán.

Az aktív galaxis magokat az össztömeg, az akkréció mértéke, forgási paraméter és a forgástengely és a látóirány által bezárt szög alapján lehet csoportosítani [2]. A rádióban halk kvazárok és a Seyfert 1 típusú galaxisok egy osztályba tartoznak, csak a luminozitásuk különözőteti meg őket. Nagyon aktív akkréció és lassú forgás jellemző rájuk. A Seyfert 2 típusú galaxisok hasonlók, a különbség abban áll, hogy gáz vagy akkréciós korong takarja el a forrást. Ezeket közel az egyenlítői síkból látjuk. A rádióban hangos kvazárok két csoportra oszthatjuk a megfigyelés szöge alapján: meredek spektrumú, kiterjedt forrásokra illetve lapos spektrumú, kompakt forrásokra. Spektrumukban széles vonalak vannak, és relativisztikus jetjük, ami gyors



1.1. ábra. Aktív galaxisról készített felvételek, a bal oldali földfelszíni távcsővel, a jobb oldalit a Hubble Űrtávcsővel készítették. [4]

forgásra és akkrécióra utal. Rádió galaxisoknak hasonló tulajdonságaik vannak. A jet sebessége alapján fényes peremű (relativisztikus sebességű jet) és sötét peremű (alacsony sebességű jet) rádió galaxisokra bontjuk szét őket. A blazárok és BL Lac objektumok kis szög alatt megfigyelt rádió galaxisok, a relativisztikus jet anyaga elnyomja a forrás emissziós vonalait.

Szupernehéz fekete lyukak ütközése során keletkező gravitációs hullámok mérésére szolgál majd a 2020-ra tervezett LISA űrteleszkóp. A projektnek az előfutára a LISA Pathfinder misszió, amit 2011-ben fognak fellőni. A műhold célja bebizonyítani, hogy a kidolgozott technológiák biztosítani tudják a precíz pozicionálást az űrben[3]. A misszió feladata lesz még a berendezések teherbírásának tesztelése, az interferometerek pontosságának meghatározása és a LISA mérési elvének tesztelése. Ha sikerül kellő pontosságot elérni és megbizonyosodni a mérési módszerek működőképességéről, akkor fogják elindítani a LISA projektet. A National Research Council of the National Academy of Sciences 2010-es jelentése alapján a LISA projekt magas prioritású[5].

2. fejezet

Szupernehéz fekete lyuk kettősök

A galaxisok fejlődését kialakulásuk után az összeolvadások határozzák meg. Galaxisok összeütközése során kezdetben a galaxisok anyaga közötti dinamikai súrlódás a fő disszipatív effektus. A fekete lyukak közeledésének dinamikája jól leírható amíg a köztük lévő távolság megközelítőleg 1 pc-re nem csökken. Sokáig fennállt az utolsó pc probléma, mely szerint a két szupernehéz fekete lyuk nem közelítheti meg egymást 1 pc-nél jobban. Azonban már napvilágot láttak olyan elméletek, melyek lehetővé teszik, hogy a két fekete lyuk elég közel kerüljön egymáshoz, és a gravitációs sugárzás vegye át a fő disszipatív effektus szerepét. Az egyik elmélet szerint az ütköző rendszerben 3 akkréciós korong található (mindkét fekete lyuk körül egy és a kettős körül egy nagyobb). Ez az utóbbi akkréciós korong visz el pályaimpulzus momentumot, ezzel csökken a szeparáció. Egy másik elmélet szerint 2 fekete lyuk önmagában nem elég az összeolvadáshoz, hanem kell egy harmadik ütközés, ami összelöki a két egymás körül forgó fekete lyukat, és egy új kettős alakul ki. A gravitációs sugárzás 0.005 pc-nél veszi át a fő disszipatív folyamat szerepét, ez a távolság nagyon gyengén függ a rendszer teljes tömegétől és a fekete lyuk körüli csillagok eloszlásától, illetve egyáltalán nem függ a tömeg-aránytól [6].

A galaxis ütközésekkor a központi fekete lyukak tipikus tömeg-aránya $0.03 \div 0.3$ között van[6]. Ezen tömegarány esetén a nagyobb tömegű fekete lyuk spinje domináns, ezért a kisebb spin elhanyagolhatjuk. Ekkor megfigyelhető a spin-átfordulás jelensége is, mely magyarázata a 2.1 ábrán látható.

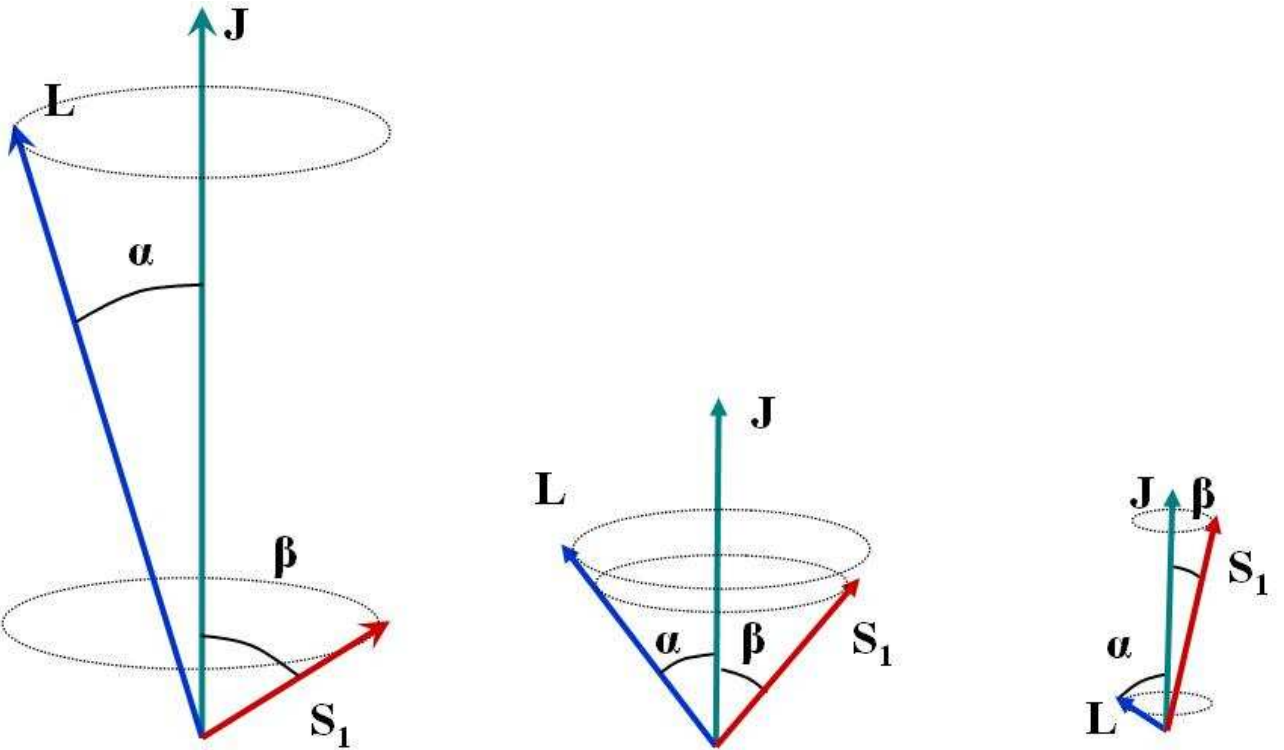
Amikor a gravitációs sugárzás veszi át a fő disszipatív effektus szerepét, a rendszert jól lehetünk írni a poszt-newtoni formalizmussal. Ebben a formalizmusban a gravitációs hullámokat a sík Minkowski metrika kis perturbációiként kezeljük. A poszt-newtoni kifejtést az

$$\varepsilon \approx \frac{Gm}{c^2 r} \approx \frac{v^2}{c^2} \quad (2.1)$$

kisparaméter szerint végezzük. Itt $m = m_1 + m_2$ a rendszer össztömege, r a két fekete lyuk közötti r szeparáció hossza, G a gravitációs állandó, c a fénysebesség, v pedig a szeparáció deriváltjának a hossza. Formuláinkban megjelennek $\frac{v}{c}$ rendű tagok is, ezért a felbontás során feles és egész rendű tagjaink vannak. A kisparaméter a 0.005 pc határnál 10^{-3} körüli. A poszt-newtoni közelítés $\varepsilon \approx 0.1$ -ig tekinthető érvényesnek. Thorne megmutatta, hogy a h^{ij} gravitációs hullámformát a szimmetrikusan spur mentes radiatív multipólus momentumokkal a következő módon lehet számolni másfeles poszt-newtoni rendig[7] :

$$h^{ij} = \frac{G2}{c^4 D} \left\{ \frac{(2)}{3} \frac{I^{ijk}}{c} N^k + \frac{(3)}{12} \frac{I^{ijkl}}{c^2} N^k N^l + \frac{(4)}{60} \frac{I^{ijklm}}{c^3} N^k N^l N^m \right. \quad (2.2)$$

$$\left. + \epsilon^{kl(i} \left[\frac{4}{3} \frac{(J^j)k}{c} N^l + \frac{1}{2} \frac{(J^j)km}{c^2} N^l N^m + \frac{2}{15} \frac{(J^j)kmn}{c^3} N^l N^m N^n \right] \right\}_{TT}, \quad (2.3)$$



2.1. ábra. Az ábrán a spin-átfordulás folyamata látható. Az idős jet a kezdeti spin irányába mutat. Ahogy a két fekete lyuk egymáshoz közeledik a spin és a pályaimpulzus momentum a teljes impulzus momentum körül precesszál. A gravitációs sugárzás energiát és impulzus momentumot L visz el a rendszerből úgy hogy a teljes impulzus momentum J iranya meg marad. A folyamat során L nagysága csökken, még a spiné nem változik. Még a legbelső stabil körpálya elérése előtt a spin közel a J irányába áll be és egy új jet alakul ki [6].

ahol D a megfigyelő és a forrás távolsága, az $I^{ij} \dots$ kifejezések a tömeg multipólus momentumok, a $J^{ij} \dots$ pedig az áram multipólus momentumok. Az N^i -k az \hat{N} egységvektor elemei, ami a rendszer tömegközéppontjából a megfigyelő felé mutat. A TT a transzverzális trace mentesítést jelöli.

3. fejezet

Gravitációs hullámformák 1.5 poszt-newtoni rendig, a vezető rendű spin-pálya kölcsönhatás figyelembe vételével

A mozgás egyenleteket másfeles rendig a következő egyenlet határozza meg:

$$\mathbf{a} = \mathbf{a}_N + \mathbf{a}_{PN} + \mathbf{a}_{SO}, \quad (3.1)$$

ahol

$$\mathbf{a}_N = -\frac{Gm}{r^3}\mathbf{r}, \quad (3.2)$$

$$\mathbf{a}_{PN} = -\frac{Gm}{c^2 r^3} \left\{ \mathbf{r} \left[(1+3\eta)\mathbf{v}^2 - 2(2+\eta)\frac{Gm}{r} - \frac{3}{2}\eta\dot{r}^2 \right] - 2(2-\eta)r\dot{r}\mathbf{v} \right\}, \quad (3.3)$$

$$\mathbf{a}_{SO} = \frac{G}{c^2 r^3} \left[\frac{6}{r^2} \mathbf{r} [(\mathbf{r} \times \mathbf{v})(\mathbf{S} + \sigma)] - \mathbf{v} \times (4\mathbf{S} + 3\sigma) + 3\frac{\dot{r}}{r} \mathbf{r} \times (2\mathbf{S} + \sigma) \right], \quad (3.4)$$

itt $\mathbf{S} = \mathbf{S}_1 + \mathbf{S}_2$, $\mu = \frac{m_1 m_2}{m}$, $\nu = \frac{m_2}{m_1}$, $\eta = \frac{\mu}{m}$, $\sigma = \nu \mathbf{S}_1 + \nu^{-1} \mathbf{S}_2$.

A számolások során a [11] cikkben bevezetett koordináta rendszereket és változókat használjuk. A gyorsulások kifejezéseit a [10] és [9] cikkekben vesszük. A 3.2 a newtoni gyorsulás, a 3.3 az első poszt-newtoni rendje a gyorsulásnak, a 3.4 kifejezés pedig a spin-pálya kölcsönhatás tagja a gyorsulásnak. Ez utóbbi másfeles post-newtoni rendű tag. A 2.2 képletben bevezetett momentumokat a 3.5-3.14 kijezések adják meg. Ezeket a [8] cikkből vesszük annyi kiegészítéssel, hogy nem használjuk a $G = c = 1$ konvenciót, hanem SI mértékegység rendszerben számolunk.

$$I^{ij} = \mu(x^i x^j)^{STF} \left[1 + \frac{29}{42}(1-3\eta)\frac{v^2}{c^2} - \frac{1}{7}(5-8\eta)\frac{Gm}{c^2 r} \right] \quad (3.5)$$

$$- \frac{4}{7}(1-3\eta)\mu r \dot{r} (x^i v^j)^{STF} + \frac{11}{21}(1-3\eta)\mu r^2 (v^i v^j)^{STF} \\ + \frac{8}{3}\eta[x^i (\mathbf{v} \times \sigma)^j]^{STF} - \frac{4}{3}\eta[v^i (\mathbf{r} \times \sigma)^j]^{STF}, \quad (3.6)$$

$$I^{ijk} = -\mu \frac{1-\nu}{1+\nu} \{(x^i x^j x^k)^{STF} [1 + \frac{1}{6}(5 - 19\eta) \frac{v^2}{c^2} - \frac{1}{6}(5 - 13\eta) \frac{Gm}{c^2 r}] \quad (3.7)$$

$$-(1 - 2\eta) r \dot{r} \frac{(x^i x^j v^k)^{STF}}{c^2} + (1 - 2\eta) r^2 \frac{(x^i v^j v^k)^{STF}}{c^2}\}, \quad (3.8)$$

$$I^{ijkl} = \mu(1 - 3\eta)(x^i x^j x^k x^l)^{STF}, \quad (3.9)$$

$$I^{ijklm} = -\mu \frac{1-\nu}{1+\nu} (1 - 2\eta)(x^i x^j x^k x^l x^m)^{STF}, \quad (3.10)$$

$$J^{ij} = -\mu \frac{1-\nu}{1+\nu} \{[x^i (\mathbf{r} \times \mathbf{v})^j]^{STF} [1 + \frac{1}{28}(13 - 68\eta) \frac{v^2}{c^2} + \frac{1}{14}(27 + 30\eta) \frac{Gm}{c^2 r}] \quad (3.11)$$

$$+ \frac{5}{28}(1 - 2\eta) \frac{r \dot{r}}{c^2} [x^i (\mathbf{r} \times \mathbf{v})^j]^{STF}\} - \frac{3}{2}\eta \frac{1+\nu}{1-\nu} (x^i \sigma^j)^{STF}, \quad (3.12)$$

$$J^{ijk} = \mu(1 - 3\eta)[x^i x^j (\mathbf{r} \times \mathbf{v})^k]^{STF} + 2\eta(x^i x^j \sigma^k)^{STF}, \quad (3.13)$$

$$J^{ijkl} = -\mu \frac{1-\nu}{1+\nu} (1 - 2\eta)[x^i x^j x^k (\mathbf{r} \times \mathbf{v})^l]^{STF}. \quad (3.14)$$

A h^{ij} tenzor számolása során minden deriválás után a sebesség deriváltjai helyére behelyettesítjük a 3.1 teljes gyorsulást. A kapott hullámforma a következő alakú:

$$h^{ij} = \frac{2G\mu}{c^4 D} [Q^{ij} + P^{0.5} Q^{ij} + PQ^{ij} + PQ_{SO}^{ij} + P^{1.5} Q^{ij} + P^{1.5} Q_{SO}^{ij} + P^{1.5} Q_{tail}^{ij}]_{TT}, \quad (3.15)$$

ahol Q^{ij} a newtoni járulék, $P^{0.5} Q^{ij}$ feles post newtoni rendű tag, PQ^{ij} és PQ_{SO}^{ij} az első poszt-newtoni rendű és a spin-pálya kölcsönhatásból származó tag ebben a rendben. Másfeles rendben hasonló a jelölés az első rendhez, itt a plusz tag a $P^{1.5} Q_{tail}^{ij}$ az úgy nevezett tail(uszáj)-tag ez a gravitációs hullám önmagára hatásával kapcsolatos tag.

A kettős pályája a gravitációs sugárzás következményeként körpályává simul az összeolvadás előtt, így használhatjuk a közel-körpálya közelítést. A mozgássegyenleteket a következő azonosságok segítségével át lehet írni:

$$\begin{aligned} \frac{\mathbf{r}}{r} \cdot \mathbf{a} &= \ddot{r} - r\omega^2 \\ \hat{\lambda} \cdot \mathbf{a} &= r\dot{\omega} + 2\dot{r}\omega \\ \hat{\mathbf{L}}_N \cdot \mathbf{a} &= -r\omega(\hat{\lambda} \cdot \frac{d\hat{\mathbf{L}}_n}{dt}), \end{aligned} \quad (3.16)$$

ahol $\hat{\lambda} = \hat{\mathbf{L}}_N \times \frac{\mathbf{r}}{r}$, $\hat{\mathbf{L}}_N = \frac{\mathbf{L}_N}{|\mathbf{L}_N|}$, \mathbf{L}_N a newtoni pálya-impulzusmomentum. A pályaszögsebességet a $\mathbf{v} = \dot{r}\frac{\mathbf{r}}{r} + r\omega\hat{\lambda}$ egyenlet határozza meg. A közel-körpálya közelítésben a szeparációt állandónak tekintjük, de megengedjük a pályasík preprocesszióját. Ezekből a feltételekből levezethető a következő összefüggés[8]:

$$r\omega = \left(\frac{Gm}{r}\right)^{1/2} \left\{ 1 - \frac{1}{2}(3 - \eta) \frac{Gm}{c^2 r} - \frac{1}{2} \sum_{i=1,2} \left[\frac{G\chi_i}{c} \cos \kappa_i \left(\frac{2}{(1+\nu)^2} + 3\eta \right) \right] \right\}, \quad (3.17)$$

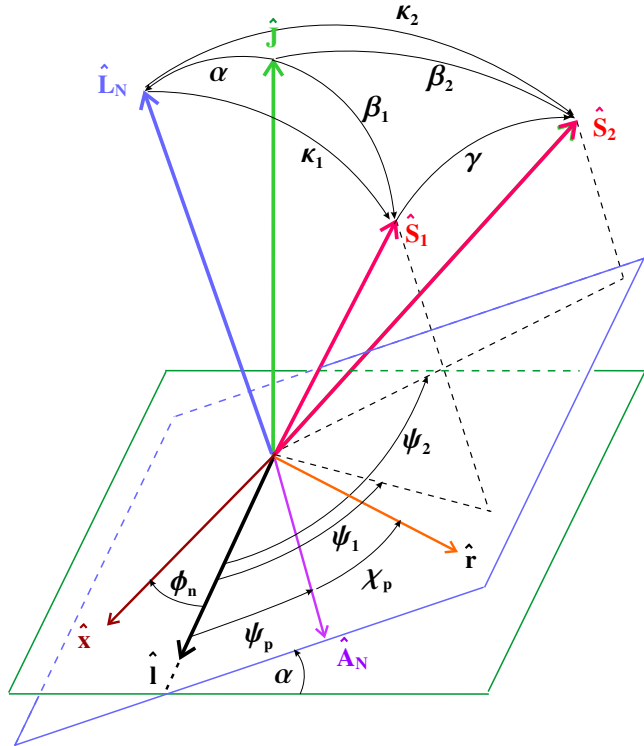
$\mathbf{A} \mathbf{v} = r\omega\hat{\lambda}$ helyettesítéssel kapjuk a hullámforma közel-körpálya közelítését.

A gravitációs sugárzásnak két polarizációja van. A polarizációs állapotokat a h^{ij} tenzor komponenseinek lineáris kombinációjaként fejezzük ki. Olyan koordinátarendszert választunk, ahol a z tengely a \mathbf{J} teljes impulzus momentum irányába mutat, definiáljuk a $\theta = \arcsin(\hat{\mathbf{N}} \cdot \hat{\mathbf{J}}_0)$ szöget és az x és y irányokat úgy választjuk meg, hogy ekkor a $\hat{\mathbf{N}} = \cos \theta \hat{\mathbf{z}} + \sin \theta \hat{\mathbf{x}}$ az x-z síkban van. Ekkor a h_+ és h_x polarizációs állapotokat a következő egyenletekkel számolhatjuk ki:

$$h_+ = \frac{1}{2} \{ \cos^2 \theta h^{xx} - h^{yy} + \sin^2 \theta h^{zz} - \sin(2\theta) h^{xz} \}, \quad (3.18)$$

$$h_x = \cos \theta h^{xy} - \sin \theta h^{yx}. \quad (3.19)$$

A 3.1 ábrán bevezetett szögek segítségével felírjuk a \mathbf{r} és $\hat{\lambda}$ vektorokat:



3.1. ábra. Az ábrán láthatók a teljes impulzus momentum $J\hat{\mathbf{J}}$, a newtoni pálya-impulzus momentum $L_N\hat{\mathbf{L}}_N$, és a spinek $S_{1,2}\hat{\mathbf{S}}_{1,2}$ által bezárt szögek. A ϕ_n szög az $\hat{\mathbf{l}}$ és $\hat{\mathbf{x}}$ tengely által bezárt szög melyet a $\hat{\mathbf{J}}$ -re merőleges síkban mérünk. A spinek és a newtoni Laplace-Runge-Lenz vektor azimutális szögeit (ψ_1, ψ_2, ψ_p) az $\hat{\mathbf{l}}$ -től mérjük az $\hat{\mathbf{L}}_N$ -re merőleges síkban. A valódi anomália χ_p a $\hat{\mathbf{A}}_N$ és a $r\hat{\mathbf{r}}$ által bezárt szög. [11]

$$\begin{aligned} \frac{\mathbf{r}_x}{r} &= -\sin\left(\frac{3\pi}{2} - \phi_n\right) \cos(\psi) - \cos \alpha \cos\left(\frac{3\pi}{2} - \phi_n\right) \sin(\psi), \\ \frac{\mathbf{r}_y}{r} &= \cos\left(\frac{3\pi}{2} - \phi_n\right) \cos(\psi) - \cos \alpha \sin\left(\frac{3\pi}{2} - \phi_n\right) \sin(\psi), \\ \frac{\mathbf{r}_z}{r} &= \sin \alpha \sin(\psi), \end{aligned} \quad (3.20)$$

$$\begin{aligned}
\hat{\lambda}_x &= \sin\left(\frac{3\pi}{2} - \phi_n\right) \sin(\psi) - \cos\alpha \cos\left(\frac{3\pi}{2} - \phi_n\right) \cos(\psi), \\
\hat{\lambda}_y &= -\cos\left(\frac{3\pi}{2} - \phi_n\right) \sin(\psi) - \cos\alpha \sin\left(\frac{3\pi}{2} - \phi_n\right) \cos(\psi), \\
\hat{\lambda}_y &= \sin\alpha \cos(\psi),
\end{aligned} \tag{3.21}$$

Itt $\psi_p + \chi_p = \psi$. A [8] cikk eredményein a következő javításokat kell elvégezni: A (B2c) egyenletben $Q_+ \cdot t - Q_+$ -re kell cserélni, a (B3c) egyenletben egy zárójel hiányzik a $(\cos^2(\iota) \sin^2(\alpha) + \cos^2(\alpha))$ tagban. A (B3j) egyenletben a cd helyett $-cd$ -t kell írni. A kijavított képletek teljes összhangban vannak az eredményeinkkel.

Eredményemet a REDUCE szimbolikus programnyelvben írt saját fejlesztésű programmal állítottam elő. A hullámformák közel-körpálya közelítése az A függelékben található.

A detektor által mért jelet a

$$h(t) = F_+ h_+(t) + F_\times h_\times(t) \tag{3.22}$$

kifejezés adja, ahol F_+ és F_\times az úgy nevezett antenna függvények. Ezek megmutatják a detektor érzékenységét a megfelelő polarizációs állapotra.

$$F_+ = \frac{1}{2}(1 + \cos^2 \bar{\theta}) \cos(2\bar{\phi}) \cos(2\bar{\psi}) - \cos \bar{\theta} \sin(2\bar{\phi}) \sin(2\bar{\psi}), \tag{3.23}$$

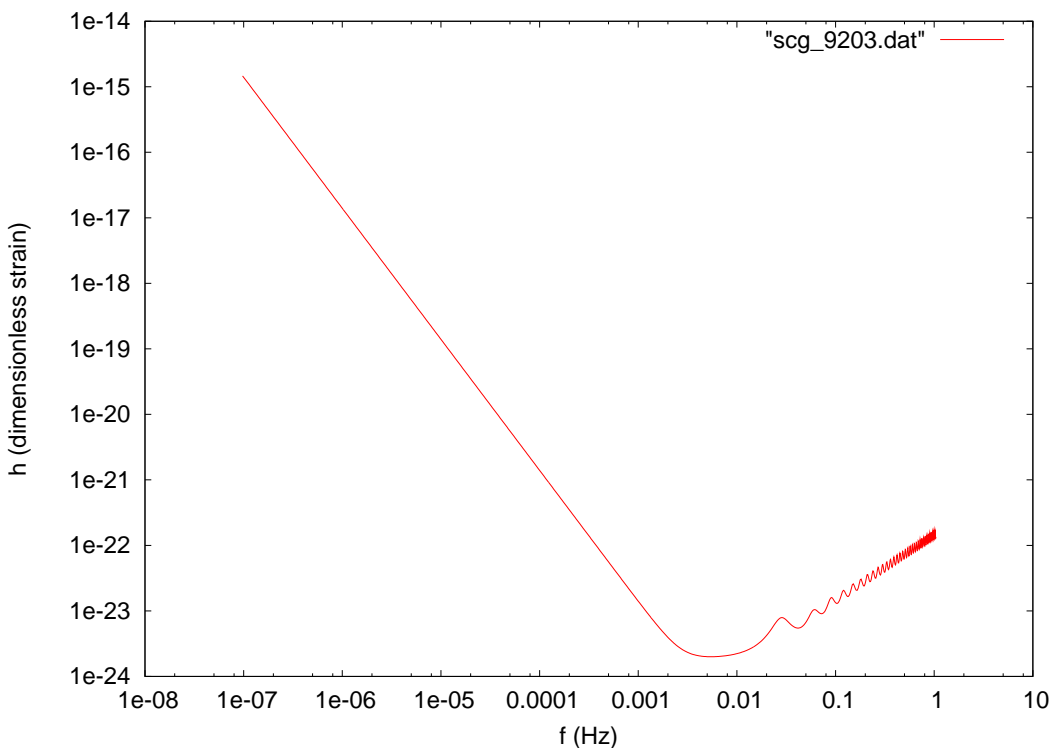
$$F_\times = \frac{1}{2}(1 + \cos^2 \bar{\theta}) \cos(2\bar{\phi}) \sin(2\bar{\psi}) + \cos \bar{\theta} \sin(2\bar{\phi}) \cos(2\bar{\psi}). \tag{3.24}$$

Itt $(\bar{\theta}, \bar{\phi})$ szögek határozzák meg a forrás helyzetét a detektorhoz képest úgy, hogy a detektor karjai mutatnak az x és y tengely mentén, a z tengely pedig függőleges. A $\bar{\psi}$ szög a konstans azimut és a gravitációs hullám polarizációs tengelye által bezárt szög.

4. fejezet

Szupernehéz fekete lyuk kettősök gravitációs sugárzásának jellemzői a LISA paramétertartományában

A LISA detektor érzékenységét a frekvencia függvényében mutatja a 4.1 ábra.



4.1. ábra. Általános LISA érzékenységi görbe. A dimenziótlan terhelést (h) ábrázoljuk a frekvencia függvényében [15]. Az ábra a [14] honlapon található érzékenységi görbe generátorral készült.

A frekvencia, tömeg és a szeparáció között a

$$T_N = 2\pi Gm \left(\frac{r}{Gm} \right)^{3/2} = \frac{2}{f} \quad (4.1)$$

kifejezésből levezethető a következő összefüggés.

$$\frac{m}{M_\odot} = \frac{c^3}{\pi GM_\odot f} \left(\frac{Gm}{c^2 r} \right)^{3/2} = \frac{c^3}{\pi GM_\odot f} \varepsilon^{3/2} \quad (4.2)$$

Körpálya közelítés esetén a gravitációs sugárzásban megjelenik egy karakterisztikus frekvencia, mely a forrás távolságától a 4.3 egyenlet szerint függ[16]. Az egyenletben z a vöröseltolódás.

$$f_c = \frac{2f}{1+z} \quad (4.3)$$

A 4.2 egyenletből ki tudjuk fejezni a szeparációt a frekvencia függvényében.

$$f = \frac{c^3}{\pi Gm} \frac{1+z}{2} \varepsilon^{3/2} \quad (4.4)$$

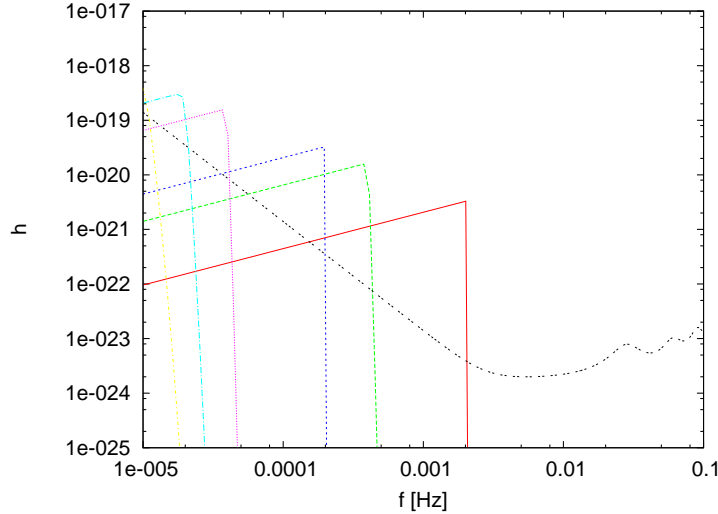
Ezt behelyettesítve a 3.22 egyenletbe megkapjuk a gravitációs hullám amplitúdójának frekvenciafüggését. Vezető rendben ez a következő:

$$h = C \frac{f_c^{2/3} G^{5/3} m^{5/3}}{c^4 D(z)} \frac{\nu}{(1+\nu)^2}, \quad (4.5)$$

ahol C a kettős helyzetétől függő konstans. A $D(z)$ -t a 4.6 egyenlet határozza meg [17].

$$D(z) = \frac{(1+z)c}{H_0} \int_{(1+z)^{-1}}^1 \frac{dx}{(\Omega_m x + \Omega_\Lambda x^4)^{1/2}}, \quad (4.6)$$

ahol $\Omega_m = 0.274$ és $\Omega_\Lambda = 0.726$ kozmológiai konstansok, H_0 a Hubble paraméter jelenlegi értéke [18].



4.2. ábra. A fekete vonal jelenti a LISA detektor érzékenységét. A többi vonal fentről lefelé $2 \times 10^8, 10^8, 5 \times 10^7, 10^7, 5 \times 10^6, 10^6 M_\odot$ fekete lyuk kettősből származó gravitációs hullám amplitúdójának frekvenciafüggése. A tömegarány $\nu = 0.1$, a távolság $z = 6$.

A körfrekvencia időfejlődését vezető rendben a 4.7 egyenlet határozza meg[13].

$$\frac{d\omega}{dt} = \frac{96\eta m^{5/3}\omega^{11/3}}{5} \quad (4.7)$$

4.1. táblázat. Szupernehéz fekete lyukak által kibocsátott gravitációs sugárzás jellemzői a LISA űrdetektor $10^{-5} \div 1$ Hz frekvenciatartományában. Az idők $z = 6$ távolságú rendszerre számít értékek. Első sor: a rendszer össztömege. Második sor: a gravitációs hullám frekvenciája a poszt-newtoni korszak végén ($\varepsilon = 0.1$). Harmadik sor: a $10^{-5} - \omega_f$ frekvenciatartományában töltött idő. Negyedik sor: a LISA érzékenységi küszöbe fölött eltöltött idő.

m/M_{nap}	10^6	5×10^6	10^7	5×10^7	10^8	2×10^8
$\omega_f [\text{Hz}]$	1.2×10^{-2}	2.5×10^{-3}	1.2×10^{-3}	2.5×10^{-4}	1.2×10^{-4}	6.4×10^{-5}
$t_f - t_{10^{-5}}$	84 év	5.7 év	1.8 év	45 nap	14 nap	4 nap
$t_f - t_{\text{küszöb}}$	19 nap	20 nap	20 nap	17 nap	14 nap	4 nap

Átrendezve az egyenletet és integrálva az idő kifejezésére kapjuk:

$$\Delta t = -\frac{15}{768} \eta^{-1} \left(\frac{Gm}{c^3} \right)^{-5/3} \left[\frac{1}{\omega_{\text{final}}^{-8/3}} - \frac{1}{\omega_{\text{start}}^{-8/3}} \right] \quad (4.8)$$

Itt figyelembe kell itt venni, hogy a képletben körfrekvenciával kell számolni, nekünk pedig csak frekvencia értékeink vannak, ezért az $f = \frac{\omega}{2\pi}$ összefüggéssel át kell még írni a frekvenciáértékeket. A minimum frekvencia értékhez a 10^{-5} Hz -hez tartozó körfrekvenciát választottuk. A maximum frekvencia értékhez a 4.2 képletből $\varepsilon = 0.1$ értékhez számolt frekvenciát írjuk, így kapjuk a 4.1 táblázatban azt az időt, melyet a kettős rendszer gravitációs sugárzással tölt 10^{-5} Hz -től a poszt-newtoni leírás végéig. A 4.5 képlet és a 4.1 ábrán látható érzékenységi görbe segítségével meghatároztató hogy mekkora frekvenciától lesz az amplitúdó az érzékenységi küszöb fölött, ezt a 4.2 ábrán láthatjuk.

5. fejezet

Kis tömegarányú fekete lyuk kettősök gravitációs hullámformái

A [12] cikkben meghatározták az közel-körpálya közelítés képleteit 1.5-ös rendig, ez után az α szög szerint sorfejtettek. Ez a sorfejtés $S \ll L$ esetben érvényes, ekkor a fekete lyukak tömegaránya közel 1. Mi kis tömegarányra akarunk közelítést adni, ekkor a folyamat végén(amikor a gravitációs sugárzás amplitúdója elég nagy, hogy észleljük) ahogyan már korábban is beláttuk a β_1 szög lesz kicsi. Ezt a szöget a következő kifejezésekkel tudjuk felülről becsülni:

$$\begin{aligned}\cos \beta_1 &\leq \frac{S_1}{J} = \frac{1}{(1 + \varepsilon^{-1/2} \nu)^{1/2}} \\ \sin \beta_1 &\leq \frac{L_N}{J} = \frac{1}{(1 + \varepsilon^{1/2} \nu^{-1})^{1/2}}\end{aligned}\quad (5.1)$$

A számolások során ki kell használni azt, hogy $\frac{S_1}{L_N} \approx \varepsilon^{1/2} \nu^{-1}$ és $J = (L_N^2 + S_1^2)^{1/2}$. Ezekből a ν tömegarányra tudunk becslést adni.

$$\begin{aligned}\nu &\leq \varepsilon^{1/2} \times ((\frac{1}{\cos \beta_1})^2 - 1) \\ \nu^{-1} &\leq \varepsilon^{-1/2} \times ((\frac{1}{\sin \beta_1})^2 - 1)\end{aligned}\quad (5.2)$$

Ekkor vesszük β_1 szögföggvényeinek sorfejtéseit 4. rendig, és minden rendre megállapítjuk hogy milyen értékekre ad még 2 tizedes jegy pontos becslést a sorfejtés.

$$\begin{aligned}\cos \beta_1 &\approx 1 - \frac{\beta_1^2}{2} + \frac{\beta_1^4}{24} \\ \sin \beta_1 &\approx \beta_1 - \frac{\beta_1^3}{6}\end{aligned}\quad (5.3)$$

A 5.1 táblázat tartalmazza rendenként a maximális szöget ameddig elég pontos a sorfejtés, és az ehhez az értékhez tartozó maximális tömegarányt.

A táblázat eredményei alapján a másod rendű sorfejtés esetén a maximális tömegarány $\nu = 8.3 \times 10^{-3}$. Ebben az esetben a β_1 szög a bespirálozás folyamata során végig kicsi. Ez a tömegarány nem tipikus érték, ez egy nagy és egy kis tömegű szupermasszív fekete lyuk ütközése esetén lehetséges. Másik lehetőség egy kis tömegű ($3 \times 10^6 M_\odot$) szupermasszív fekete lyuk és egy közepes tömegű fekete lyuk ütközése lehet. Ha detektálunk ilyen típusú gravitációs hullámot, az utalhat ilyen közepes tömegű fekete lyukak létezésére.

A sorfejtés elvégzéséhez először be kell vezetnünk a β_1 szöget a képletekbe. A folyamat

5.1. táblázat. Tömegarány becslés β_1 nagysága szerint. Első sor: a sorfejtés rendje. Második sor: a maximális szög melyre a szögfüggvények sorfejtése még 2 tizedes jegy pontosan megegyzik a pontos értékkel. Harmadik sor: A tömegarányok $\varepsilon = 0.1$ esetén.

rend	1	2	3	4
$\beta_1 [^\circ]$	5	9	14	20
ν	3×10^{-3}	8.3×10^{-3}	1.98×10^{-2}	4.16×10^{-2}

során a \mathbf{L}_N és \mathbf{S}_1 a \mathbf{J} körül precesszál, ekkor a következő összefüggések érvényesek [6].

$$\cos \alpha = \cos(\kappa_1 - \beta_1) \quad (5.4)$$

$$\sin \alpha = \sin(\kappa_1 - \beta_1) \quad (5.5)$$

Ezeket a képleteket kell behelyettesíteni a h_+ és h_\times képleteinkbe. A végső képletekhez még az \mathbf{S}_1 komponenseit meg kell adni. Ezt a [11] cikkben bevezetett inerciarendszerben egyszerű kifejteni:

$$\begin{aligned} S_{1x} &= S_1 \sin \beta_1 \cos(\phi_1 - \phi_n) \\ S_{1y} &= S_1 \sin \beta_1 \sin(\phi_1 - \phi_n) \\ S_{1z} &= S_1 \cos \beta_1 \end{aligned} \quad (5.6)$$

Itt $S_1 = \frac{G}{c} m^2 \eta \nu^{-1} \chi_1$ [11]. Elvégezzük a behelyettesítéseket és sorfejtünk β_1 -ben másod rendig. A behelyettesítések megnövelik az általános formula hosszát, amit a sorfejtés közel felére csökken. Az eredményeket a dolgozat korlátozott terjedelme miatt csak első poszt-newtoni rendig a B függelék tartalmazza.

6. fejezet

Összegzés

A dolgozat célja a kis tömegarányú fekete lyuk kettősök gravitációs hullámformáinak meghatározása volt. Először sikeresen reprodukáltam a [8] cikk eredményeit a REDUCE szimbolikus programnyelvben írt saját fejlesztésű programmal.

A választott koordináták között olyan szöget kerestünk mely kis tömegarány esetén kicsi lesz, és lehet benne sorfejteni (ez a szög a β_1). A sorfejtés pontosságát 4. rendig meghatároztam, ezek után úgy döntöttünk hogy másod rendig érdemes elmenni a sorfejtésben.

A programom a megadott radiatív multipólus momentumokból és a mozgássegyenletekből kiszámolja a h^{ij} tenzort, elvégzi a közel-körpálya közelítést, meghatározza a h_+ és h_\times polarizációs állapotokat, elvégzi a megfelelő behelyettesítéseket és a sorfejtést. Ezzel megkaptam a kis tömegarányú fekete lyuk kettősök gravitációs hullámformáit.

A formulák hossza fontos, mert a hatalmas mennyiségi mérési adatból ki kell szűrni a jellet. Minél nagyobb a formula, annál tovább tart a kiértékelés. A kapott általános eredmények a koordinátáinkban hosszabb eredményeket adtak mint Kidder eredményei [8], a sorfejtés viszont jelentősen csökkentette az eredményeim hosszát. Ez csökkenteni fogja a mérési adatok kiértékelésének idejét.

Meghatároztam a gravitációs hullám amplitúdjának frekvencia függését. A detektor várható érzékenységének ismeretében kiszámoltam az időt amelyet a gravitációs hullám a detektor érzékenységi küszöb fölött tölt.

7. fejezet

Köszönetnyílvánítás

Köszönöm Dr. Gergely Árpád Lászlónak hogy a kutatásba bekapcsolódhattam, és a sok hasznos instrukciót és tanácsot. Köszönöm Keresztes Zoltánnak a munkám gyakorlati részében nyújtott segítséget. Köszönettel tartozom Drownik Mareknek is.

A. Függelék

A gravitációs hullámformák közel-körpálya közelítésben

A közel-körpálya közelítés eredményei 1.5-es poszt-newtoni rendig:

$$h^{ij} = \frac{2G\mu}{c^4 D} \left(\frac{Gm}{r} \right) \left[Q_c^{ij} + P^{0.5} Q_c^{ij} \left(\frac{Gm}{c^2 r} \right)^{1/2} + P Q_c^{ij} \left(\frac{Gm}{c^2 r} \right) + \left(P^{1.5} Q_c^{ij} \right) \left(\frac{Gm}{c^2 r} \right)^{3/2} \right]_{TT}, \quad (\text{A.1})$$

ahol

$$Q_c^{ij} = 2 [\lambda^i \lambda^j - \hat{r}^i \hat{r}^j], \quad (\text{A.2a})$$

$$P^{0.5} Q_c^{ij} = \frac{1-\nu}{1+\nu} \left\{ 6(\hat{\mathbf{N}} \cdot \hat{\mathbf{r}}) \hat{r}^i \lambda^j + (\hat{\mathbf{N}} \cdot \hat{\lambda}) [\hat{r}^i \hat{r}^j - 2\lambda^i \lambda^j] \right\}, \quad (\text{A.2b})$$

$$\begin{aligned} P Q_c^{ij} &= \frac{2}{3}(1-3\eta) \left\{ (\hat{\mathbf{N}} \cdot \hat{\mathbf{r}})^2 [5\hat{r}^i \hat{r}^j - 7\lambda^i \lambda^j] - 16(\hat{\mathbf{N}} \cdot \hat{\mathbf{n}})(\hat{\mathbf{N}} \cdot \hat{\lambda}) \hat{r}^i \lambda^j \right. \\ &\quad \left. + (\hat{\mathbf{N}} \cdot \hat{\lambda})^2 [3\lambda^i \lambda^j - \hat{r}^i \hat{r}^j] \right\} + \frac{1}{3}(19-3\eta)(\hat{r}^i \hat{r}^j - \lambda^i \lambda^j) \\ &\quad + \frac{2c}{Gm^2} \frac{1+\nu}{1-\nu} \hat{r}^i ((\sigma - \mathbf{S}) \times \hat{\mathbf{N}})^j, \end{aligned} \quad (\text{A.2c})$$

$$\begin{aligned} P^{1.5} Q_c^{ij} &= \frac{1-\nu}{1+\nu} \left\{ (1-2\eta) \left[\frac{1}{2}(\hat{\mathbf{N}} \cdot \hat{\lambda})^3 (\hat{r}^i \hat{r}^j - 4\lambda^i \lambda^j) + \frac{1}{4}(\hat{\mathbf{N}} \cdot \hat{\mathbf{r}})^2 (\hat{\mathbf{N}} \cdot \hat{\lambda}) (58\lambda^i \lambda^j - 37\hat{r}^i \hat{r}^j) \right. \right. \\ &\quad \left. \left. - \frac{65}{6}(\hat{\mathbf{N}} \cdot \hat{\mathbf{r}})^3 \hat{r}^i \lambda^j + 15(\hat{\mathbf{N}} \cdot \hat{\mathbf{r}})(\hat{\mathbf{N}} \cdot \hat{\lambda})^2 \hat{r}^i \lambda^j \right] - (\hat{\mathbf{N}} \cdot \hat{\lambda}) \left[\frac{1}{12}(101-12\eta)\hat{r}^i \hat{r}^j \right. \right. \\ &\quad \left. \left. - \frac{1}{2}(19-4\eta)\lambda^i \lambda^j \right] - \frac{1}{6}(149-36\eta)(\hat{\mathbf{N}} \cdot \hat{\mathbf{r}}) \hat{r}^i \lambda^j \right\} \\ &\quad - \frac{2c}{m^2 G} \left\{ \lambda^i \lambda^j \left[\hat{\mathbf{L}}_{\mathbf{N}} \cdot (2\mathbf{S} + 3\sigma) \right] \right. \\ &\quad \left. - 6\hat{r}^i \hat{r}^j \left[\hat{\mathbf{L}}_{\mathbf{N}} \cdot (\mathbf{S} + \sigma) \right] + 2\lambda^{(i} [\hat{\mathbf{r}} \times (\sigma)]^{j)} + \hat{r}^{(i} [\hat{\lambda} \times (4\mathbf{S} + 5\sigma)]^{j)} \right. \\ &\quad \left. + 2(\hat{\mathbf{N}} \cdot \hat{\lambda}) \left[(\sigma) \times \hat{\mathbf{N}} \right]^{(i} \hat{r}^{j)} + 2(\hat{\mathbf{N}} \cdot \hat{\mathbf{r}}) \left[(\sigma) \times \hat{\mathbf{N}} \right]^{(i} \lambda^{j)} \right\}, \end{aligned} \quad (\text{A.2d})$$

Itt $\hat{\mathbf{r}}$ az \mathbf{r} irányú egységvektor. A h^{ij} -t behelyettesítve a 3.18-3.19 képletekbe kapjuk a polarizációs állapotokat. Ezek explicit kifejezése megtalálható a [12] cikk A appendixében. A [12]

cikk eredményeiben (ahol $G = c = 1$) α helyére $\frac{3}{2}\pi - \phi_n$ -t, ι helyére α -t kell helyettesíteni, továbbá a polarizációs vektorok $\frac{\pi}{2}$ -vel való elforgatása miatt a képletek -1 -el szorzódnak.

B. Függelék

Gravitációs hullámforma kis tömegarány esetén

Kis tömegarányra a gravitációs hullámformát 1. poszt-newtoni rendig a következő kifejezés adja:

$$h_{\times}^0 = \frac{2G\mu}{c^4 D} \left(\frac{Gm}{r} \right) \left\{ h_{\times}^0 + \left(\frac{Gm}{c^2 r} \right)^{1/2} \frac{1-\nu}{1+\nu} h_{\times}^{0.5} \right. \quad (\text{B.3})$$

$$\left. + \left(\frac{Gm}{c^2 r} \right) \left(h_{\times}^1 + \frac{1+\nu}{\nu} h_{\times}^{1SO} \right) \right\} \quad (\text{B.4})$$

Minden poszt-newtoni tagot a β_1 hatványai szerint rendezve adom meg($k = 0; 0.5; 1$):

$$h_{\times}^k = h_{\times}^{k,0} + h_{\times}^{k,1} \beta_1 + h_{\times}^{k,2} \beta_1^2 \quad (\text{B.5})$$

$$\begin{aligned} h_{\times}^{0,0} &= (-4 \cos \kappa_1 \cos(2\theta) \sin(2\phi_n) \sin(2\psi) - 12 \cos \kappa_1 \sin(2\phi_n) \sin(2\psi) \\ &\quad + 3 \cos(2\kappa_1) \cos(2\psi) \cos(2\theta) - 3 \cos(2\kappa_1) \cos(2\psi) \\ &\quad - \cos(2\kappa_1) \cos(2\phi_n) \cos(2\psi) \cos(2\theta) + 3 \cos(2\psi) \\ &\quad - 3 \cos(2\phi_n) \cos(2\psi) \cos(2\theta) - 9 \cos(2\phi_n) \cos(2\psi) \\ &\quad - 3 \cos(2\psi) \cos(2\theta) - 3 \cos(2\kappa_1) \cos(2\phi_n) \cos(2\psi) \\ &\quad - 4 \cos(2\psi) \sin(2\kappa_1) \sin(2\theta) \sin \phi_n + 8 \cos \phi_n \sin \kappa_1 \sin(2\psi) \sin(2\theta)) / 4 \quad (\text{B.6a}) \end{aligned}$$

$$\begin{aligned} h_{\times}^{0,1} &= (-4 \cos \kappa_1 \cos \phi_n \sin(2\psi) \sin(2\theta) + 4 \cos(2\kappa_1) \cos(2\psi) \sin(2\theta) \sin \phi_n \\ &\quad - \cos(2\phi_n) \cos(2\psi) \cos(2\theta) \sin(2\kappa_1) - 3 \cos(2\phi_n) \cos(2\psi) \sin(2\kappa_1) \\ &\quad + 3 \cos(2\psi) \cos(2\theta) \sin(2\kappa_1) - 3 \cos(2\psi) \sin(2\kappa_1) \\ &\quad - 2 \cos(2\theta) \sin \kappa_1 \sin(2\phi_n) \sin(2\psi) - 6 \sin \kappa_1 \sin(2\phi_n) \sin(2\psi)) / 2 \quad (\text{B.6b}) \end{aligned}$$

$$\begin{aligned} h_{\times}^{0,2} &= (\cos \kappa_1 \cos(2\theta) \sin(2\phi_n) \sin(2\psi) + 3 \cos \kappa_1 \sin(2\phi_n) \sin(2\psi) \\ &\quad + \cos(2\kappa_1) \cos(2\phi_n) \cos(2\psi) \cos(2\theta) + 3 \cos(2\kappa_1) \cos(2\psi) \\ &\quad + 3 \cos(2\kappa_1) \cos(2\phi_n) \cos(2\psi) - 3 \cos(2\kappa_1) \cos(2\psi) \cos(2\theta) \\ &\quad + 4 \cos(2\psi) \sin(2\kappa_1) \sin(2\theta) \sin \phi_n - 2 \cos \phi_n \sin \kappa_1 \sin(2\psi) \sin(2\theta)) / 2 \quad (\text{B.6c}) \end{aligned}$$

$$\begin{aligned}
h_{\times}^{0 \ 0} &= -4 \cos \kappa_1 \cos(2\phi_n) \cos \theta \sin(2\psi) + \cos(2\kappa_1) \cos(2\psi) \cos \theta \sin(2\phi_n) \\
&\quad -2 \cos(2\psi) \cos \phi_n \sin(2\kappa_1) \sin \theta + 3 \cos(2\psi) \cos \theta \sin(2\phi_n) \\
&\quad -4 \sin \kappa_1 \sin(2\psi) \sin \phi_n \sin \theta
\end{aligned} \tag{B.7a}$$

$$\begin{aligned}
h_{\times}^{0 \ 1} &= 2(2 \cos \kappa_1 \sin(2\psi) \sin \phi_n \sin \theta + 2 \cos(2\kappa_1) \cos(2\psi) \cos \phi_n \sin \theta) \\
&\quad -2 \cos(2\phi_n) \cos \theta \sin \kappa_1 \sin(2\psi) + \cos(2\psi) \cos \theta \sin(2\kappa_1) \sin(2\phi_n)
\end{aligned} \tag{B.7b}$$

$$\begin{aligned}
h_{\times}^{0 \ 2} &= 2(\cos \kappa_1 \cos(2\phi_n) \cos \theta \sin(2\psi) - \cos(2\kappa_1) \cos(2\psi) \cos \theta \sin(2\phi_n) \\
&\quad + 2 \cos(2\psi) \cos \phi_n \sin(2\kappa_1) \sin \theta + \sin \kappa_1 \sin(2\psi) \sin \phi_n \sin \theta)
\end{aligned} \tag{B.7c}$$

$$\begin{aligned}
h_+^{0.5 \ 0} = & (9 \cos \kappa_1 \cos(2\kappa_1) \cos(2\phi_n) \cos(2\psi) \cos(2\theta) \cos \psi \sin \phi_n \sin \theta \\
& + 27 \cos \kappa_1 \cos(2\kappa_1) \cos(2\phi_n) \cos(2\psi) \cos \psi \sin \phi_n \sin \theta \\
& - 5 \cos \kappa_1 \cos(2\kappa_1) \cos(2\phi_n) \cos(2\theta) \cos \psi \sin \phi_n \sin \theta \\
& - 15 \cos \kappa_1 \cos(2\kappa_1) \cos(2\phi_n) \cos \psi \sin \phi_n \sin \theta \\
& - 63 \cos \kappa_1 \cos(2\kappa_1) \cos(2\psi) \cos(2\theta) \cos \psi \sin \phi_n \sin \theta \\
& - 9 \cos \kappa_1 \cos(2\kappa_1) \cos(2\psi) \cos \psi \sin \phi_n \sin \theta + 45 \cos(2\psi) \cos \phi_n \sin \psi \sin \theta \\
& + 35 \cos \kappa_1 \cos(2\kappa_1) \cos(2\theta) \cos \psi \sin \phi_n \sin \theta \\
& + 5 \cos \kappa_1 \cos(2\kappa_1) \cos \psi \sin \phi_n \sin \theta - 37 \cos \kappa_1 \cos \psi \sin \phi_n \sin \theta \\
& + 63 \cos \kappa_1 \cos(2\phi_n) \cos(2\psi) \cos(2\theta) \cos \psi \sin \phi_n \sin \theta \\
& + 189 \cos \kappa_1 \cos(2\phi_n) \cos(2\psi) \cos \psi \sin \phi_n \sin \theta \\
& - 31 \cos \kappa_1 \cos(2\phi_n) \cos(2\theta) \cos \psi \sin \phi_n \sin \theta \\
& - 93 \cos \kappa_1 \cos(2\phi_n) \cos \psi \sin \phi_n \sin \theta - 25 \cos(2\kappa_1) \cos \psi \cos \theta \sin \kappa_1 \\
& + 99 \cos \kappa_1 \cos(2\psi) \cos(2\theta) \cos \psi \sin \phi_n \sin \theta - 35 \cos(2\phi_n) \cos \psi \cos \theta \sin \kappa_1 \\
& + 117 \cos \kappa_1 \cos(2\psi) \cos \psi \sin \phi_n \sin \theta + 9 \cos(2\kappa_1) \cos \phi_n \sin \psi \sin \theta \\
& - 51 \cos \kappa_1 \cos(2\theta) \cos \psi \sin \phi_n \sin \theta - 39 \cos(2\kappa_1) \cos(2\phi_n) \cos \phi_n \sin \psi \sin \theta \\
& - 27 \cos(2\kappa_1) \cos(2\phi_n) \cos(2\psi) \cos(2\theta) \cos \phi_n \sin \psi \sin \theta \\
& + 27 \cos(2\kappa_1) \cos(2\phi_n) \cos(2\psi) \cos(2\theta) \cos \psi \cos \theta \sin \kappa_1 \\
& - 81 \cos(2\kappa_1) \cos(2\phi_n) \cos(2\psi) \cos \phi_n \sin \psi \sin \theta \\
& + 9 \cos(2\kappa_1) \cos(2\phi_n) \cos(2\psi) \cos \psi \cos \theta \sin \kappa_1 \\
& - 13 \cos(2\kappa_1) \cos(2\phi_n) \cos(2\theta) \cos \phi_n \sin \psi \sin \theta \\
& - 15 \cos(2\kappa_1) \cos(2\phi_n) \cos(2\theta) \cos \psi \cos \theta \sin \kappa_1 \\
& - 5 \cos(2\kappa_1) \cos(2\phi_n) \cos \psi \cos \theta \sin \kappa_1 - 69 \cos(2\phi_n) \cos \phi_n \sin \psi \sin \theta \\
& + 81 \cos(2\kappa_1) \cos(2\psi) \cos(2\theta) \cos \phi_n \sin \psi \sin \theta \\
& - 45 \cos(2\kappa_1) \cos(2\psi) \cos(2\theta) \cos \psi \cos \theta \sin \kappa_1 \\
& + 63 \cos(2\kappa_1) \cos(2\psi) \cos \phi_n \sin \psi \sin \theta + 45 \cos(2\kappa_1) \cos(2\psi) \cos \psi \cos \theta \sin \kappa_1 \\
& + 39 \cos(2\kappa_1) \cos(2\theta) \cos \phi_n \sin \psi \sin \theta + 25 \cos(2\kappa_1) \cos(2\theta) \cos \psi \cos \theta \sin \kappa_1 \\
& - 45 \cos(2\phi_n) \cos(2\psi) \cos(2\theta) \cos \phi_n \sin \psi \sin \theta \\
& + 81 \cos(2\phi_n) \cos(2\psi) \cos(2\theta) \cos \psi \cos \theta \sin \kappa_1 \\
& - 135 \cos(2\phi_n) \cos(2\psi) \cos \phi_n \sin \psi \sin \theta + 27 \cos(2\phi_n) \cos(2\psi) \cos \psi \cos \theta \sin \kappa_1 \\
& - 23 \cos(2\phi_n) \cos(2\theta) \cos \phi_n \sin \psi \sin \theta - 41 \cos(2\phi_n) \cos(2\theta) \cos \psi \cos \theta \sin \kappa_1 \\
& - 45 \cos(2\psi) \cos(2\theta) \cos \phi_n \sin \psi \sin \theta + 45 \cos(2\psi) \cos(2\theta) \cos \psi \cos \theta \sin \kappa_1 \\
& + 54 \cos(2\psi) \cos(2\theta) \cos \theta \sin(2\kappa_1) \sin(2\phi_n) \sin \psi \\
& + 18 \cos(2\psi) \cos \theta \sin(2\kappa_1) \sin(2\phi_n) \sin \psi - 23 \cos(2\theta) \cos \phi_n \sin \psi \sin \theta \\
& - 21 \cos(2\theta) \cos \psi \cos \theta \sin \kappa_1 - 45 \cos(2\psi) \cos \psi \cos \theta \sin \kappa_1 \\
& + 26 \cos(2\theta) \cos \theta \sin(2\kappa_1) \sin(2\phi_n) \sin \psi + 23 \cos \phi_n \sin \psi \sin \theta \\
& + 21 \cos \psi \cos \theta \sin \kappa_1 - 2 \cos \theta \sin(2\kappa_1) \sin(2\phi_n) \sin \psi) / 16
\end{aligned} \tag{B.8a}$$

$$\begin{aligned}
h_+^{0.5 \ 1} = & (-81 \cos \kappa_1 \cos(2\kappa_1) \cos(2\phi_n) \cos(2\psi) \cos(2\theta) \cos \psi \cos \theta \\
& -27 \cos \kappa_1 \cos(2\kappa_1) \cos(2\phi_n) \cos(2\psi) \cos \psi \cos \theta \\
& +45 \cos \kappa_1 \cos(2\kappa_1) \cos(2\phi_n) \cos(2\theta) \cos \psi \cos \theta \\
& +15 \cos \kappa_1 \cos(2\kappa_1) \cos(2\phi_n) \cos \psi \cos \theta + 75 \cos \kappa_1 \cos(2\kappa_1) \cos \psi \cos \theta \\
& +135 \cos \kappa_1 \cos(2\kappa_1) \cos(2\psi) \cos(2\theta) \cos \psi \cos \theta \\
& -135 \cos \kappa_1 \cos(2\kappa_1) \cos(2\psi) \cos \psi \cos \theta \\
& -75 \cos \kappa_1 \cos(2\kappa_1) \cos(2\theta) \cos \psi \cos \theta + 25 \cos \kappa_1 \cos(2\phi_n) \cos \psi \cos \theta \\
& -27 \cos \kappa_1 \cos(2\phi_n) \cos(2\psi) \cos(2\theta) \cos \psi \cos \theta \\
& -9 \cos \kappa_1 \cos(2\phi_n) \cos(2\psi) \cos \psi \cos \theta + 71 \cos \kappa_1 \cos(2\theta) \cos \psi \cos \theta \\
& +11 \cos \kappa_1 \cos(2\phi_n) \cos(2\theta) \cos \psi \cos \theta - 71 \cos \kappa_1 \cos \psi \cos \theta \\
& -135 \cos \kappa_1 \cos(2\psi) \cos(2\theta) \cos \psi \cos \theta + 135 \cos \kappa_1 \cos(2\psi) \cos \psi \cos \theta \\
& +27 \cos(2\kappa_1) \cos(2\phi_n) \cos(2\psi) \cos(2\theta) \cos \psi \sin \kappa_1 \sin \phi_n \sin \theta \\
& +81 \cos(2\kappa_1) \cos(2\phi_n) \cos(2\psi) \cos \psi \sin \kappa_1 \sin \phi_n \sin \theta \\
& -15 \cos(2\kappa_1) \cos(2\phi_n) \cos(2\theta) \cos \psi \sin \kappa_1 \sin \phi_n \sin \theta \\
& -45 \cos(2\kappa_1) \cos(2\phi_n) \cos \psi \sin \kappa_1 \sin \phi_n \sin \theta \\
& -189 \cos(2\kappa_1) \cos(2\psi) \cos(2\theta) \cos \psi \sin \kappa_1 \sin \phi_n \sin \theta \\
& -108 \cos(2\kappa_1) \cos(2\psi) \cos(2\theta) \cos \theta \sin(2\phi_n) \sin \psi \\
& -27 \cos(2\kappa_1) \cos(2\psi) \cos \psi \sin \kappa_1 \sin \phi_n \sin \theta \\
& -36 \cos(2\kappa_1) \cos(2\psi) \cos \theta \sin(2\phi_n) \sin \psi + 4 \cos(2\kappa_1) \cos \theta \sin(2\phi_n) \sin \psi \\
& +105 \cos(2\kappa_1) \cos(2\theta) \cos \psi \sin \kappa_1 \sin \phi_n \sin \theta \\
& -52 \cos(2\kappa_1) \cos(2\theta) \cos \theta \sin(2\phi_n) \sin \psi + 15 \cos(2\kappa_1) \cos \psi \sin \kappa_1 \sin \phi_n \sin \theta \\
& -54 \cos(2\phi_n) \cos(2\psi) \cos(2\theta) \cos \phi_n \sin(2\kappa_1) \sin \psi \sin \theta \\
& +81 \cos(2\phi_n) \cos(2\psi) \cos(2\theta) \cos \psi \sin \kappa_1 \sin \phi_n \sin \theta \\
& -162 \cos(2\phi_n) \cos(2\psi) \cos \phi_n \sin(2\kappa_1) \sin \psi \sin \theta \\
& +243 \cos(2\phi_n) \cos(2\psi) \cos \psi \sin \kappa_1 \sin \phi_n \sin \theta \\
& -26 \cos(2\phi_n) \cos(2\theta) \cos \phi_n \sin(2\kappa_1) \sin \psi \sin \theta \\
& -41 \cos(2\phi_n) \cos(2\theta) \cos \psi \sin \kappa_1 \sin \phi_n \sin \theta \\
& -78 \cos(2\phi_n) \cos \phi_n \sin(2\kappa_1) \sin \psi \sin \theta - 123 \cos(2\phi_n) \cos \psi \sin \kappa_1 \sin \phi_n \sin \theta \\
& +162 \cos(2\psi) \cos(2\theta) \cos \phi_n \sin(2\kappa_1) \sin \psi \sin \theta \\
& -27 \cos(2\psi) \cos(2\theta) \cos \psi \sin \kappa_1 \sin \phi_n \sin \theta \\
& +126 \cos(2\psi) \cos \phi_n \sin(2\kappa_1) \sin \psi \sin \theta + 99 \cos(2\psi) \cos \psi \sin \kappa_1 \sin \phi_n \sin \theta \\
& +78 \cos(2\theta) \cos \phi_n \sin(2\kappa_1) \sin \psi \sin \theta - 27 \cos \psi \sin \kappa_1 \sin \phi_n \sin \theta \\
& +19 \cos(2\theta) \cos \psi \sin \kappa_1 \sin \phi_n \sin \theta + 18 \cos \phi_n \sin(2\kappa_1) \sin \psi \sin \theta)/16 \quad (\text{B.9a})
\end{aligned}$$

$$\begin{aligned}
h_+^{0.5 \cdot 2} = & (-81 \cos \kappa_1 \cos(2\kappa_1) \cos(2\phi_n) \cos(2\psi) \cos(2\theta) \cos \psi \sin \phi_n \sin \theta \\
& -243 \cos \kappa_1 \cos(2\kappa_1) \cos(2\phi_n) \cos(2\psi) \cos \psi \sin \phi_n \sin \theta \\
& +45 \cos \kappa_1 \cos(2\kappa_1) \cos(2\phi_n) \cos(2\theta) \cos \psi \sin \phi_n \sin \theta \\
& +135 \cos \kappa_1 \cos(2\kappa_1) \cos(2\phi_n) \cos \psi \sin \phi_n \sin \theta \\
& +567 \cos \kappa_1 \cos(2\kappa_1) \cos(2\psi) \cos(2\theta) \cos \psi \sin \phi_n \sin \theta \\
& +81 \cos \kappa_1 \cos(2\kappa_1) \cos(2\psi) \cos \psi \sin \phi_n \sin \theta \\
& -315 \cos \kappa_1 \cos(2\kappa_1) \cos(2\theta) \cos \psi \sin \phi_n \sin \theta \\
& -45 \cos \kappa_1 \cos(2\kappa_1) \cos \psi \sin \phi_n \sin \theta + 33 \cos \kappa_1 \cos(2\phi_n) \cos \psi \sin \phi_n \sin \theta \\
& -27 \cos \kappa_1 \cos(2\phi_n) \cos(2\psi) \cos(2\theta) \cos \psi \sin \phi_n \sin \theta \\
& -81 \cos \kappa_1 \cos(2\phi_n) \cos(2\psi) \cos \psi \sin \phi_n \sin \theta \\
& +11 \cos \kappa_1 \cos(2\phi_n) \cos(2\theta) \cos \psi \sin \phi_n \sin \theta + 57 \cos \kappa_1 \cos \psi \sin \phi_n \sin \theta \\
& -351 \cos \kappa_1 \cos(2\psi) \cos(2\theta) \cos \psi \sin \phi_n \sin \theta \\
& -153 \cos \kappa_1 \cos(2\psi) \cos \psi \sin \phi_n \sin \theta + 191 \cos \kappa_1 \cos(2\theta) \cos \psi \sin \phi_n \sin \theta \\
& +108 \cos(2\kappa_1) \cos(2\phi_n) \cos(2\psi) \cos(2\theta) \cos \phi_n \sin \psi \sin \theta \\
& -243 \cos(2\kappa_1) \cos(2\phi_n) \cos(2\psi) \cos(2\theta) \cos \psi \cos \theta \sin \kappa_1 \\
& +324 \cos(2\kappa_1) \cos(2\phi_n) \cos(2\psi) \cos \phi_n \sin \psi \sin \theta \\
& -81 \cos(2\kappa_1) \cos(2\phi_n) \cos(2\psi) \cos \psi \cos \theta \sin \kappa_1 \\
& +52 \cos(2\kappa_1) \cos(2\phi_n) \cos(2\theta) \cos \phi_n \sin \psi \sin \theta + 55 \cos(2\phi_n) \cos \psi \cos \theta \sin \kappa_1 \\
& +135 \cos(2\kappa_1) \cos(2\phi_n) \cos(2\theta) \cos \psi \cos \theta \sin \kappa_1 \\
& +156 \cos(2\kappa_1) \cos(2\phi_n) \cos \phi_n \sin \psi \sin \theta + 45 \cos(2\kappa_1) \cos(2\phi_n) \cos \psi \cos \theta \sin \kappa_1 \\
& -324 \cos(2\kappa_1) \cos(2\psi) \cos(2\theta) \cos \phi_n \sin \psi \sin \theta \\
& +405 \cos(2\kappa_1) \cos(2\psi) \cos(2\theta) \cos \psi \cos \theta \sin \kappa_1 \\
& -252 \cos(2\kappa_1) \cos(2\psi) \cos \phi_n \sin \psi \sin \theta - 405 \cos(2\kappa_1) \cos(2\psi) \cos \psi \cos \theta \sin \kappa_1 \\
& -156 \cos(2\kappa_1) \cos(2\theta) \cos \phi_n \sin \psi \sin \theta - 225 \cos(2\kappa_1) \cos(2\theta) \cos \psi \cos \theta \sin \kappa_1 \\
& -36 \cos(2\kappa_1) \cos \phi_n \sin \psi \sin \theta + 225 \cos(2\kappa_1) \cos \psi \cos \theta \sin \kappa_1 \\
& -189 \cos(2\phi_n) \cos(2\psi) \cos(2\theta) \cos \psi \cos \theta \sin \kappa_1 \\
& -63 \cos(2\phi_n) \cos(2\psi) \cos \psi \cos \theta \sin \kappa_1 + 101 \cos(2\phi_n) \cos(2\theta) \cos \psi \cos \theta \sin \kappa_1 \\
& +135 \cos(2\psi) \cos(2\theta) \cos \psi \cos \theta \sin \kappa_1 - 135 \cos(2\psi) \cos \psi \cos \theta \sin \kappa_1 \\
& -216 \cos(2\psi) \cos(2\theta) \cos \theta \sin(2\kappa_1) \sin(2\phi_n) \sin \psi \\
& -72 \cos(2\psi) \cos \theta \sin(2\kappa_1) \sin(2\phi_n) \sin \psi - 79 \cos(2\theta) \cos \psi \cos \theta \sin \kappa_1 \\
& -104 \cos(2\theta) \cos \theta \sin(2\kappa_1) \sin(2\phi_n) \sin \psi + 79 \cos \psi \cos \theta \sin \kappa_1 \\
& +8 \cos \theta \sin(2\kappa_1) \sin(2\phi_n) \sin \psi / 32
\end{aligned} \tag{B.10a}$$

$$\begin{aligned}
h_{\times}^{0.5 \ 0} &= (9 \cos \kappa_1 \cos(2\kappa_1) \cos(2\phi_n) \cos(2\psi) \cos \phi_n \cos \psi \sin(2\theta) \\
&\quad - 5 \cos \kappa_1 \cos(2\kappa_1) \cos(2\phi_n) \cos \phi_n \cos \psi \sin(2\theta) \\
&\quad - 27 \cos \kappa_1 \cos(2\kappa_1) \cos(2\psi) \cos \phi_n \cos \psi \sin(2\theta) \\
&\quad + 15 \cos \kappa_1 \cos(2\kappa_1) \cos \phi_n \cos \psi \sin(2\theta) + 23 \sin(2\theta) \sin \phi_n \sin \psi \\
&\quad + 63 \cos \kappa_1 \cos(2\phi_n) \cos(2\psi) \cos \phi_n \cos \psi \sin(2\theta) \\
&\quad - 31 \cos \kappa_1 \cos(2\phi_n) \cos \phi_n \cos \psi \sin(2\theta) - 4 \sin(2\kappa_1) \sin \psi \\
&\quad - 9 \cos \kappa_1 \cos(2\psi) \cos \phi_n \cos \psi \sin(2\theta) + 9 \cos \kappa_1 \cos \phi_n \cos \psi \sin(2\theta) \\
&\quad + 27 \cos(2\kappa_1) \cos(2\phi_n) \cos(2\psi) \sin \phi_n \sin \psi \\
&\quad + 13 \cos(2\kappa_1) \cos(2\phi_n) \sin(2\theta) \sin \phi_n \sin \psi + \cos(2\kappa_1) \sin(2\theta) \sin \phi_n \sin \psi \\
&\quad - 18 \cos(2\kappa_1) \cos(2\psi) \cos(2\theta) \cos \psi \sin \kappa_1 \sin(2\phi_n) \\
&\quad - 9 \cos(2\kappa_1) \cos(2\psi) \sin(2\theta) \sin \phi_n \sin \psi - 4 \cos(2\phi_n) \sin(2\kappa_1) \sin \psi \\
&\quad + 10 \cos(2\kappa_1) \cos(2\theta) \cos \psi \sin \kappa_1 \sin(2\phi_n) \\
&\quad + 36 \cos(2\phi_n) \cos(2\psi) \cos(2\theta) \sin(2\kappa_1) \sin \psi \\
&\quad + 45 \cos(2\phi_n) \cos(2\psi) \sin(2\theta) \sin \phi_n \sin \psi + 4 \cos(2\theta) \sin(2\kappa_1) \sin \psi \\
&\quad + 16 \cos(2\phi_n) \cos(2\theta) \sin(2\kappa_1) \sin \psi + 23 \cos(2\phi_n) \sin(2\theta) \sin \phi_n \sin \psi \\
&\quad - 54 \cos(2\psi) \cos(2\theta) \cos \psi \sin \kappa_1 \sin(2\phi_n) + 8 \cos \psi \sin \kappa_1 \sin(2\phi_n) \\
&\quad + 45 \cos(2\psi) \sin(2\theta) \sin \phi_n \sin \psi + 30 \cos(2\theta) \cos \psi \sin \kappa_1 \sin(2\phi_n)) / 8 \quad (\text{B.11a}) \\
h_{\times}^{0.5 \ 1} &= (54 \cos \kappa_1 \cos(2\kappa_1) \cos(2\psi) \cos(2\theta) \cos \psi \sin(2\phi_n) \\
&\quad - 30 \cos \kappa_1 \cos(2\kappa_1) \cos(2\theta) \cos \psi \sin(2\phi_n) \\
&\quad + 18 \cos \kappa_1 \cos(2\psi) \cos(2\theta) \cos \psi \sin(2\phi_n) \\
&\quad - 10 \cos \kappa_1 \cos(2\theta) \cos \psi \sin(2\phi_n) - 8 \cos \kappa_1 \cos \psi \sin(2\phi_n) \\
&\quad - 72 \cos(2\kappa_1) \cos(2\phi_n) \cos(2\psi) \cos(2\theta) \sin \psi \\
&\quad + 27 \cos(2\kappa_1) \cos(2\phi_n) \cos(2\psi) \cos \phi_n \cos \psi \sin \kappa_1 \sin(2\theta) \\
&\quad - 32 \cos(2\kappa_1) \cos(2\phi_n) \cos(2\theta) \sin \psi + 8 \cos(2\kappa_1) \cos(2\phi_n) \sin \psi \\
&\quad - 15 \cos(2\kappa_1) \cos(2\phi_n) \cos \phi_n \cos \psi \sin \kappa_1 \sin(2\theta) \\
&\quad - 81 \cos(2\kappa_1) \cos(2\psi) \cos \phi_n \cos \psi \sin \kappa_1 \sin(2\theta) \\
&\quad - 8 \cos(2\kappa_1) \cos(2\theta) \sin \psi + 45 \cos(2\kappa_1) \cos \phi_n \cos \psi \sin \kappa_1 \sin(2\theta) \\
&\quad + 8 \cos(2\kappa_1) \sin \psi + 81 \cos(2\phi_n) \cos(2\psi) \cos \phi_n \cos \psi \sin \kappa_1 \sin(2\theta) \\
&\quad + 54 \cos(2\phi_n) \cos(2\psi) \sin(2\kappa_1) \sin(2\theta) \sin \phi_n \sin \psi \\
&\quad - 41 \cos(2\phi_n) \cos \phi_n \cos \psi \sin \kappa_1 \sin(2\theta) \\
&\quad + 26 \cos(2\phi_n) \sin(2\kappa_1) \sin(2\theta) \sin \phi_n \sin \psi \\
&\quad - 63 \cos(2\psi) \cos \phi_n \cos \psi \sin \kappa_1 \sin(2\theta) \\
&\quad - 18 \cos(2\psi) \sin(2\kappa_1) \sin(2\theta) \sin \phi_n \sin \psi \\
&\quad + 39 \cos \phi_n \cos \psi \sin \kappa_1 \sin(2\theta) + 2 \sin(2\kappa_1) \sin(2\theta) \sin \phi_n \sin \psi) / 8 \quad (\text{B.11b})
\end{aligned}$$

$$\begin{aligned}
h_{\times}^{0.5 \cdot 2} = & (-81 \cos \kappa_1 \cos(2\kappa_1) \cos(2\phi_n) \cos(2\psi) \cos \phi_n \cos \psi \sin(2\theta) \\
& + 45 \cos \kappa_1 \cos(2\kappa_1) \cos(2\phi_n) \cos \phi_n \cos \psi \sin(2\theta) \\
& + 243 \cos \kappa_1 \cos(2\kappa_1) \cos(2\psi) \cos \phi_n \cos \psi \sin(2\theta) \\
& - 135 \cos \kappa_1 \cos(2\kappa_1) \cos \phi_n \cos \psi \sin(2\theta) - 16 \cos(2\theta) \sin(2\kappa_1) \sin \psi \\
& - 27 \cos \kappa_1 \cos(2\phi_n) \cos(2\psi) \cos \phi_n \cos \psi \sin(2\theta) \\
& + 11 \cos \kappa_1 \cos(2\phi_n) \cos \phi_n \cos \psi \sin(2\theta) - 99 \cos \kappa_1 \cos(2\psi) \cos \phi_n \cos \psi \sin(2\theta) \\
& + 51 \cos \kappa_1 \cos \phi_n \cos \psi \sin(2\theta) - 108 \cos(2\kappa_1) \cos(2\phi_n) \cos(2\psi) \sin(2\theta) \sin \phi_n \sin \psi \\
& - 52 \cos(2\kappa_1) \cos(2\phi_n) \sin(2\theta) \sin \phi_n \sin \psi - 8 \cos \psi \sin \kappa_1 \sin(2\phi_n) \\
& + 162 \cos(2\kappa_1) \cos(2\psi) \cos(2\theta) \cos \psi \sin \kappa_1 \sin(2\phi_n) + 16 \sin(2\kappa_1) \sin \psi \\
& + 36 \cos(2\kappa_1) \cos(2\psi) \sin(2\theta) \sin \phi_n \sin \psi - 90 \cos(2\kappa_1) \cos(2\theta) \cos \psi \sin \kappa_1 \sin(2\phi_n) \\
& - 4 \cos(2\kappa_1) \sin(2\theta) \sin \phi_n \sin \psi - 144 \cos(2\phi_n) \cos(2\psi) \cos(2\theta) \sin(2\kappa_1) \sin \psi \\
& - 64 \cos(2\phi_n) \cos(2\theta) \sin(2\kappa_1) \sin \psi + 16 \cos(2\phi_n) \sin(2\kappa_1) \sin \psi \\
& + 126 \cos(2\psi) \cos(2\theta) \cos \psi \sin \kappa_1 \sin(2\phi_n) \\
& - 70 \cos(2\theta) \cos \psi \sin \kappa_1 \sin(2\phi_n)) / 16
\end{aligned} \tag{B.12a}$$

$$\begin{aligned}
h_+^{1,0} = & ((1 - 3\eta)(-64 \cos \kappa_1 \cos(2\kappa_1) \cos(2\phi_n) \cos(2\psi) \cos^2(2\theta) \sin(2\phi_n) \sin(2\psi) \\
& - 128 \cos \kappa_1 \cos(2\kappa_1) \cos(2\phi_n) \cos(2\psi) \cos(2\theta) \sin(2\phi_n) \sin(2\psi) \\
& + 192 \cos \kappa_1 \cos(2\kappa_1) \cos(2\phi_n) \cos(2\psi) \sin(2\phi_n) \sin(2\psi) \\
& + 4 \cos \kappa_1 \cos(2\kappa_1) \cos(2\phi_n) \cos^2(2\theta) \sin(2\phi_n) \sin(2\psi) \\
& + 8 \cos \kappa_1 \cos(2\kappa_1) \cos(2\phi_n) \cos(2\theta) \sin(2\phi_n) \sin(2\psi) \\
& - 12 \cos \kappa_1 \cos(2\kappa_1) \cos(2\phi_n) \sin(2\phi_n) \sin(2\psi) - 44 \cos^2(2\kappa_1) \\
& + 448 \cos \kappa_1 \cos(2\kappa_1) \cos(2\psi) \cos^2(2\theta) \sin(2\phi_n) \sin(2\psi) \\
& + 128 \cos \kappa_1 \cos(2\kappa_1) \cos(2\psi) \cos(2\theta) \sin(2\phi_n) \sin(2\psi) \\
& - 64 \cos \kappa_1 \cos(2\kappa_1) \cos(2\psi) \sin(2\phi_n) \sin(2\psi) + 8 \cos^2(2\kappa_1) \cos(2\phi_n) \\
& - 28 \cos \kappa_1 \cos(2\kappa_1) \cos^2(2\theta) \sin(2\phi_n) \sin(2\psi) \\
& - 104 \cos \kappa_1 \cos(2\kappa_1) \cos(2\theta) \sin(2\phi_n) \sin(2\psi) + 4 \cos \kappa_1 \cos(2\kappa_1) \sin(2\phi_n) \sin(2\psi) \\
& - 192 \cos \kappa_1 \cos(2\phi_n) \cos(2\psi) \cos^2(2\theta) \sin(2\phi_n) \sin(2\psi) \\
& - 384 \cos \kappa_1 \cos(2\phi_n) \cos(2\psi) \cos(2\theta) \sin(2\phi_n) \sin(2\psi) \\
& + 576 \cos \kappa_1 \cos(2\phi_n) \cos(2\psi) \sin(2\phi_n) \sin(2\psi) - 12 \cos^2(2\kappa_1) \cos^2(2\phi_n) \\
& - 4 \cos \kappa_1 \cos(2\phi_n) \cos^2(2\theta) \sin(2\phi_n) \sin(2\psi) + 156 \cos \kappa_1 \sin(2\phi_n) \sin(2\psi) \\
& - 8 \cos \kappa_1 \cos(2\phi_n) \cos(2\theta) \sin(2\phi_n) \sin(2\psi) + 12 \cos \kappa_1 \cos(2\phi_n) \sin(2\phi_n) \sin(2\psi) \\
& - 448 \cos \kappa_1 \cos(2\psi) \cos^2(2\theta) \sin(2\phi_n) \sin(2\psi) + 88 \cos^2(2\kappa_1) \cos^2(2\psi) \\
& - 128 \cos \kappa_1 \cos(2\psi) \cos(2\theta) \sin(2\phi_n) \sin(2\psi) + 64 \cos \kappa_1 \cos(2\psi) \sin(2\phi_n) \sin(2\psi) \\
& + 12 \cos \kappa_1 \cos^2(2\theta) \sin(2\phi_n) \sin(2\psi) + 24 \cos \kappa_1 \cos(2\theta) \sin(2\phi_n) \sin(2\psi) \\
& - 8 \cos^2(2\kappa_1) \cos^2(2\phi_n) \cos^2(2\psi) \cos^2(2\theta) - 3 \cos^2(2\kappa_1) \cos^2(2\phi_n) \cos(2\psi) \\
& - 16 \cos^2(2\kappa_1) \cos^2(2\phi_n) \cos^2(2\psi) \cos(2\theta) + 24 \cos^2(2\kappa_1) \cos^2(2\phi_n) \cos^2(2\psi) \\
& + \cos^2(2\kappa_1) \cos^2(2\phi_n) \cos(2\psi) \cos^2(2\theta) + 2 \cos^2(2\kappa_1) \cos^2(2\phi_n) \cos(2\psi) \cos(2\theta) \\
& + 4 \cos^2(2\kappa_1) \cos^2(2\phi_n) \cos^2(2\theta) + 8 \cos^2(2\kappa_1) \cos^2(2\phi_n) \cos(2\theta) \\
& + 112 \cos^2(2\kappa_1) \cos(2\phi_n) \cos^2(2\psi) \cos^2(2\theta) + 2 \cos^2(2\kappa_1) \cos(2\phi_n) \cos(2\psi) \\
& + 32 \cos^2(2\kappa_1) \cos(2\phi_n) \cos^2(2\psi) \cos(2\theta) - 16 \cos^2(2\kappa_1) \cos(2\phi_n) \cos^2(2\psi) \\
& - 14 \cos^2(2\kappa_1) \cos(2\phi_n) \cos(2\psi) \cos^2(2\theta) - 4 \cos^2(2\kappa_1) \cos(2\phi_n) \cos(2\psi) \cos(2\theta) \\
& - 56 \cos^2(2\kappa_1) \cos(2\phi_n) \cos^2(2\theta) - 16 \cos^2(2\kappa_1) \cos(2\phi_n) \cos(2\theta) \\
& - 136 \cos^2(2\kappa_1) \cos^2(2\psi) \cos^2(2\theta) + 48 \cos^2(2\kappa_1) \cos^2(2\psi) \cos(2\theta) \\
& + 17 \cos^2(2\kappa_1) \cos(2\psi) \cos^2(2\theta) - 6 \cos^2(2\kappa_1) \cos(2\psi) \cos(2\theta) \\
& - 11 \cos^2(2\kappa_1) \cos(2\psi) + 68 \cos^2(2\kappa_1) \cos^2(2\theta) - 24 \cos^2(2\kappa_1) \cos(2\theta) \\
& - 112 \cos(2\kappa_1) \cos^2(2\phi_n) \cos^2(2\psi) \cos^2(2\theta) \\
& - 224 \cos(2\kappa_1) \cos^2(2\phi_n) \cos^2(2\psi) \cos(2\theta) \\
& + 336 \cos(2\kappa_1) \cos^2(2\phi_n) \cos^2(2\psi) - 32 \cos(2\kappa_1) \cos(2\phi_n) \cos^2(2\psi) \\
& + 2 \cos(2\kappa_1) \cos^2(2\phi_n) \cos(2\psi) \cos^2(2\theta) \\
& + 4 \cos(2\kappa_1) \cos^2(2\phi_n) \cos(2\psi) \cos(2\theta) - 6 \cos(2\kappa_1) \cos^2(2\phi_n) \cos(2\psi) \\
& + 56 \cos(2\kappa_1) \cos^2(2\phi_n) \cos^2(2\theta) + 112 \cos(2\kappa_1) \cos^2(2\phi_n) \cos(2\theta) \\
& - 168 \cos(2\kappa_1) \cos^2(2\phi_n) + 224 \cos(2\kappa_1) \cos(2\phi_n) \cos^2(2\psi) \cos^2(2\theta) \\
& - 64 \cos(2\kappa_1) \cos(2\phi_n) \cos^2(2\psi) \cos(2\theta) \sin(2\kappa_1) \sin(2\theta) \sin \phi_n
\end{aligned}$$

$$\begin{aligned}
& +64 \cos(2\kappa_1) \cos(2\phi_n) \cos^2(2\psi) \cos(2\theta) \\
& -64 \cos(2\kappa_1) \cos(2\phi_n) \cos^2(2\psi) \sin(2\kappa_1) \sin(2\theta) \sin \phi_n \\
& -4 \cos(2\kappa_1) \cos(2\phi_n) \cos(2\psi) \cos^2(2\theta) \\
& +384 \cos(2\kappa_1) \cos(2\phi_n) \cos(2\psi) \cos(2\theta) \cos \phi_n \sin \kappa_1 \sin(2\psi) \sin(2\theta) \\
& +8 \cos(2\kappa_1) \cos(2\phi_n) \cos(2\psi) \cos(2\theta) \sin(2\kappa_1) \sin(2\theta) \sin \phi_n \\
& -116 \cos(2\kappa_1) \cos(2\phi_n) \cos(2\psi) \cos(2\theta) - 16 \cos(2\kappa_1) \cos(2\theta) \\
& +384 \cos(2\kappa_1) \cos(2\phi_n) \cos(2\psi) \cos \phi_n \sin \kappa_1 \sin(2\psi) \sin(2\theta) \\
& +8 \cos(2\kappa_1) \cos(2\phi_n) \cos(2\psi) \sin(2\kappa_1) \sin(2\theta) \sin \phi_n \\
& +40 \cos(2\kappa_1) \cos(2\phi_n) \cos(2\psi) - 112 \cos(2\kappa_1) \cos(2\phi_n) \cos^2(2\theta) \\
& -24 \cos(2\kappa_1) \cos(2\phi_n) \cos(2\theta) \cos \phi_n \sin \kappa_1 \sin(2\psi) \sin(2\theta) \\
& +32 \cos(2\kappa_1) \cos(2\phi_n) \cos(2\theta) \sin(2\kappa_1) \sin(2\theta) \sin \phi_n \\
& -32 \cos(2\kappa_1) \cos(2\phi_n) \cos(2\theta) + 408 \cos^2(2\phi_n) \cos^2(2\psi) \\
& -72 \cos(2\kappa_1) \cos(2\phi_n) \cos \phi_n \sin \kappa_1 \sin(2\psi) \sin(2\theta) \\
& +32 \cos(2\kappa_1) \cos(2\phi_n) \sin(2\kappa_1) \sin(2\theta) \sin \phi_n + 16 \cos(2\kappa_1) \cos(2\phi_n) \\
& +336 \cos(2\kappa_1) \cos^2(2\psi) \cos^2(2\theta) - 168 \cos(2\kappa_1) \cos^2(2\theta) \\
& +192 \cos(2\kappa_1) \cos^2(2\psi) \cos(2\theta) \sin(2\kappa_1) \sin(2\theta) \sin \phi_n \\
& +32 \cos(2\kappa_1) \cos^2(2\psi) \cos(2\theta) - 64 \cos(2\kappa_1) \cos^2(2\psi) \sin(2\kappa_1) \sin(2\theta) \sin \phi_n \\
& -368 \cos(2\kappa_1) \cos^2(2\psi) - 6 \cos(2\kappa_1) \cos(2\psi) \cos^2(2\theta) \\
& -640 \cos(2\kappa_1) \cos(2\psi) \cos(2\theta) \cos \phi_n \sin \kappa_1 \sin(2\psi) \sin(2\theta) \\
& -24 \cos(2\kappa_1) \cos(2\psi) \cos(2\theta) \sin(2\kappa_1) \sin(2\theta) \sin \phi_n \\
& -40 \cos(2\kappa_1) \cos(2\psi) \cos(2\theta) - 272 \cos^2(2\phi_n) \cos^2(2\psi) \cos(2\theta) \\
& -128 \cos(2\kappa_1) \cos(2\psi) \cos \phi_n \sin \kappa_1 \sin(2\psi) \sin(2\theta) \\
& +8 \cos(2\kappa_1) \cos(2\psi) \sin(2\kappa_1) \sin(2\theta) \sin \phi_n + 46 \cos(2\kappa_1) \cos(2\psi) \\
& +40 \cos(2\kappa_1) \cos(2\theta) \cos \phi_n \sin \kappa_1 \sin(2\psi) \sin(2\theta) \\
& -96 \cos(2\kappa_1) \cos(2\theta) \sin(2\kappa_1) \sin(2\theta) \sin \phi_n + 184 \cos(2\kappa_1) \\
& +152 \cos(2\kappa_1) \cos \phi_n \sin \kappa_1 \sin(2\psi) \sin(2\theta) \\
& +32 \cos(2\kappa_1) \sin(2\kappa_1) \sin(2\theta) \sin \phi_n - 136 \cos^2(2\phi_n) \cos^2(2\psi) \cos^2(2\theta) \\
& -3 \cos^2(2\phi_n) \cos(2\psi) \cos^2(2\theta) - 6 \cos^2(2\phi_n) \cos(2\psi) \cos(2\theta) \\
& +9 \cos^2(2\phi_n) \cos(2\psi) + 68 \cos^2(2\phi_n) \cos^2(2\theta) + 136 \cos^2(2\phi_n) \cos(2\theta) \\
& -204 \cos^2(2\phi_n) - 336 \cos(2\phi_n) \cos^2(2\psi) \cos^2(2\theta) \\
& -448 \cos(2\phi_n) \cos^2(2\psi) \cos(2\theta) \sin(2\kappa_1) \sin(2\theta) \sin \phi_n \\
& -96 \cos(2\phi_n) \cos^2(2\psi) \cos(2\theta) - 448 \cos(2\phi_n) \cos^2(2\psi) \sin(2\kappa_1) \sin(2\theta) \sin \phi_n \\
& +48 \cos(2\phi_n) \cos^2(2\psi) + 2 \cos(2\phi_n) \cos(2\psi) \cos^2(2\theta) \\
& +640 \cos(2\phi_n) \cos(2\psi) \cos(2\theta) \cos \phi_n \sin \kappa_1 \sin(2\psi) \sin(2\theta) \\
& +8 \cos(2\phi_n) \cos(2\psi) \cos(2\theta) \sin(2\kappa_1) \sin(2\theta) \sin \phi_n \\
& +40 \cos(2\phi_n) \cos(2\psi) \cos(2\theta) + 640 \cos(2\phi_n) \cos(2\psi) \cos \phi_n \sin \kappa_1 \sin(2\psi) \sin(2\theta) \\
& +104 \cos(2\phi_n) \cos(2\psi) \sin(2\kappa_1) \sin(2\theta) \sin \phi_n + 118 \cos(2\phi_n) \cos(2\psi) \\
& +168 \cos(2\phi_n) \cos^2(2\theta) - 8 \cos(2\phi_n) \cos(2\theta) \cos \phi_n \sin \kappa_1 \sin(2\psi) \sin(2\theta)
\end{aligned}$$

$$\begin{aligned}
& +224 \cos(2\phi_n) \cos(2\theta) \sin(2\kappa_1) \sin(2\theta) \sin \phi_n + 48 \cos(2\phi_n) \cos(2\theta) \\
& -152 \cos(2\phi_n) \cos \phi_n \sin \kappa_1 \sin(2\psi) \sin(2\theta) - 24 \cos(2\phi_n) \\
& +224 \cos(2\phi_n) \sin(2\kappa_1) \sin(2\theta) \sin \phi_n - 72 \cos^2(2\psi) \cos^2(2\theta) \\
& -448 \cos^2(2\psi) \cos(2\theta) \sin(2\kappa_1) \sin(2\theta) \sin \phi_n + 176 \cos^2(2\psi) \cos(2\theta) \\
& -192 \cos^2(2\psi) \sin(2\kappa_1) \sin(2\theta) \sin \phi_n - 104 \cos^2(2\psi) - 11 \cos(2\psi) \cos^2(2\theta) \\
& +128 \cos(2\psi) \cos(2\theta) \cos \phi_n \sin \kappa_1 \sin(2\psi) \sin(2\theta) \\
& +8 \cos(2\psi) \cos(2\theta) \sin(2\kappa_1) \sin(2\theta) \sin \phi_n + 46 \cos(2\psi) \cos(2\theta) \\
& -384 \cos(2\psi) \cos \phi_n \sin \kappa_1 \sin(2\psi) \sin(2\theta) + 24 \cos(2\psi) \sin(2\kappa_1) \sin(2\theta) \sin \phi_n \\
& -35 \cos(2\psi) + 36 \cos^2(2\theta) + 24 \cos(2\theta) \cos \phi_n \sin \kappa_1 \sin(2\psi) \sin(2\theta) \\
& +224 \cos(2\theta) \sin(2\kappa_1) \sin(2\theta) \sin \phi_n - 88 \cos(2\theta) \\
& +8 \cos \phi_n \sin \kappa_1 \sin(2\psi) \sin(2\theta) + 96 \sin(2\kappa_1) \sin(2\theta) \sin \phi_n + 52)) / 96 \\
& +(3(4 \cos \kappa_1 \cos(2\theta) \sin(2\phi_n) \sin(2\psi) + 12 \cos \kappa_1 \sin(2\phi_n) \sin(2\psi) \\
& + \cos(2\kappa_1) \cos(2\phi_n) \cos(2\psi) \cos(2\theta) + 3 \cos(2\kappa_1) \cos(2\phi_n) \cos(2\psi) \\
& -3 \cos(2\kappa_1) \cos(2\psi) \cos(2\theta) + 3 \cos(2\kappa_1) \cos(2\psi) + 3 \cos(2\phi_n) \cos(2\psi) \cos(2\theta) \\
& +9 \cos(2\phi_n) \cos(2\psi) + 3 \cos(2\psi) \cos(2\theta) + 4 \cos(2\psi) \sin(2\kappa_1) \sin(2\theta) \sin \phi_n \\
& -3 \cos(2\psi) - 8 \cos \phi_n \sin \kappa_1 \sin(2\psi) \sin(2\theta))) / 4
\end{aligned} \tag{B.13}$$

$$\begin{aligned}
h_+^{1,1} = & ((1 - 3\eta)(-288 \cos \kappa_1 \cos(2\kappa_1) \cos(2\phi_n) \cos(2\psi) \cos(2\theta) \cos \phi_n \sin(2\psi) \sin(2\theta) \\
& - 288 \cos \kappa_1 \cos(2\kappa_1) \cos(2\phi_n) \cos(2\psi) \cos \phi_n \sin(2\psi) \sin(2\theta) \\
& + 18 \cos \kappa_1 \cos(2\kappa_1) \cos(2\phi_n) \cos(2\theta) \cos \phi_n \sin(2\psi) \sin(2\theta) \\
& + 54 \cos \kappa_1 \cos(2\kappa_1) \cos(2\phi_n) \cos \phi_n \sin(2\psi) \sin(2\theta) \\
& + 480 \cos \kappa_1 \cos(2\kappa_1) \cos(2\psi) \cos(2\theta) \cos \phi_n \sin(2\psi) \sin(2\theta) \\
& + 96 \cos \kappa_1 \cos(2\kappa_1) \cos(2\psi) \cos \phi_n \sin(2\psi) \sin(2\theta) \\
& - 30 \cos \kappa_1 \cos(2\kappa_1) \cos(2\theta) \cos \phi_n \sin(2\psi) \sin(2\theta) \\
& - 114 \cos \kappa_1 \cos(2\kappa_1) \cos \phi_n \sin(2\psi) \sin(2\theta) \\
& + 32 \cos \kappa_1 \cos(2\phi_n) \cos(2\psi) \cos(2\theta) \cos \phi_n \sin(2\psi) \sin(2\theta) \\
& + 32 \cos \kappa_1 \cos(2\phi_n) \cos(2\psi) \cos \phi_n \sin(2\psi) \sin(2\theta) \\
& - 10 \cos \kappa_1 \cos(2\phi_n) \cos(2\theta) \cos \phi_n \sin(2\psi) \sin(2\theta) \\
& + 2 \cos \kappa_1 \cos(2\phi_n) \cos \phi_n \sin(2\psi) \sin(2\theta) - 8 \cos^2(2\kappa_1) \cos(2\psi) \sin(2\theta) \sin \phi_n \\
& - 352 \cos \kappa_1 \cos(2\psi) \cos(2\theta) \cos \phi_n \sin(2\psi) \sin(2\theta) \\
& + 32 \cos \kappa_1 \cos(2\psi) \cos \phi_n \sin(2\psi) \sin(2\theta) \\
& + 14 \cos \kappa_1 \cos(2\theta) \cos \phi_n \sin(2\psi) \sin(2\theta) + 74 \cos \kappa_1 \cos \phi_n \sin(2\psi) \sin(2\theta) \\
& + 64 \cos^2(2\kappa_1) \cos(2\phi_n) \cos^2(2\psi) \cos(2\theta) \sin(2\theta) \sin \phi_n \\
& + 64 \cos^2(2\kappa_1) \cos(2\phi_n) \cos^2(2\psi) \sin(2\theta) \sin \phi_n \\
& - 8 \cos^2(2\kappa_1) \cos(2\phi_n) \cos(2\psi) \cos(2\theta) \sin(2\theta) \sin \phi_n \\
& - 8 \cos^2(2\kappa_1) \cos(2\phi_n) \cos(2\psi) \sin(2\theta) \sin \phi_N \\
& - 32 \cos^2(2\kappa_1) \cos(2\phi_n) \cos(2\theta) \sin(2\theta) \sin \phi_n \\
& - 32 \cos^2(2\kappa_1) \cos(2\phi_n) \sin(2\theta) \sin \phi_n \\
& - 192 \cos^2(2\kappa_1) \cos^2(2\psi) \cos(2\theta) \sin(2\theta) \sin \phi_n \\
& + 64 \cos^2(2\kappa_1) \cos^2(2\psi) \sin(2\theta) \sin \phi_n - 32 \cos^2(2\kappa_1) \sin(2\theta) \sin \phi_n \\
& + 24 \cos^2(2\kappa_1) \cos(2\psi) \cos(2\theta) \sin(2\theta) \sin \phi_n \\
& + 96 \cos^2(2\kappa_1) \cos(2\theta) \sin(2\theta) \sin \phi_n - 12 \cos(2\kappa_1) \cos^2(2\phi_n) \sin(2\kappa_1) \\
& - 8 \cos(2\kappa_1) \cos^2(2\phi_n) \cos^2(2\psi) \cos^2(2\theta) \sin(2\kappa_1) \\
& - 16 \cos(2\kappa_1) \cos^2(2\phi_n) \cos^2(2\psi) \cos(2\theta) \sin(2\kappa_1) \\
& + 24 \cos(2\kappa_1) \cos^2(2\phi_n) \cos^2(2\psi) \sin(2\kappa_1) \\
& + \cos(2\kappa_1) \cos^2(2\phi_n) \cos(2\psi) \cos^2(2\theta) \sin(2\kappa_1) \\
& + 2 \cos(2\kappa_1) \cos^2(2\phi_n) \cos(2\psi) \cos(2\theta) \sin(2\kappa_1) \\
& - 3 \cos(2\kappa_1) \cos^2(2\phi_n) \cos(2\psi) \sin(2\kappa_1) \\
& + 4 \cos(2\kappa_1) \cos^2(2\phi_n) \cos^2(2\theta) \sin(2\kappa_1) + 8 \cos(2\kappa_1) \cos^2(2\phi_n) \cos(2\theta) \sin(2\kappa_1) \\
& + 112 \cos(2\kappa_1) \cos(2\phi_n) \cos^2(2\psi) \cos^2(2\theta) \sin(2\kappa_1) \\
& + 32 \cos(2\kappa_1) \cos(2\phi_n) \cos^2(2\psi) \cos(2\theta) \sin(2\kappa_1) \\
& + 224 \cos(2\kappa_1) \cos(2\phi_n) \cos^2(2\psi) \cos(2\theta) \sin(2\theta) \sin \phi_n \\
& - 16 \cos(2\kappa_1) \cos(2\phi_n) \cos^2(2\psi) \sin(2\kappa_1) \\
& + 224 \cos(2\kappa_1) \cos(2\phi_n) \cos^2(2\psi) \sin(2\theta) \sin \phi_n \\
& - 48 \cos(2\kappa_1) \cos(2\phi_n) \cos(2\psi) \cos^2(2\theta) \sin \kappa_1 \sin(2\phi_n) \sin(2\psi)
\end{aligned}$$

$$\begin{aligned}
& -14 \cos(2\kappa_1) \cos(2\phi_n) \cos(2\psi) \cos^2(2\theta) \sin(2\kappa_1) \\
& -96 \cos(2\kappa_1) \cos(2\phi_n) \cos(2\psi) \cos(2\theta) \sin \kappa_1 \sin(2\phi_n) \sin(2\psi) \\
& -4 \cos(2\kappa_1) \cos(2\phi_n) \cos(2\psi) \cos(2\theta) \sin(2\kappa_1) \\
& -4 \cos(2\kappa_1) \cos(2\phi_n) \cos(2\psi) \cos(2\theta) \sin(2\theta) \sin \phi_n \\
& +144 \cos(2\kappa_1) \cos(2\phi_n) \cos(2\psi) \sin \kappa_1 \sin(2\phi_n) \sin(2\psi) \\
& +2 \cos(2\kappa_1) \cos(2\phi_n) \cos(2\psi) \sin(2\kappa_1) \\
& -52 \cos(2\kappa_1) \cos(2\phi_n) \cos(2\psi) \sin(2\theta) \sin \phi_n \\
& +3 \cos(2\kappa_1) \cos(2\phi_n) \cos^2(2\theta) \sin \kappa_1 \sin(2\phi_n) \sin(2\psi) \\
& -56 \cos(2\kappa_1) \cos(2\phi_n) \cos^2(2\theta) \sin(2\kappa_1) \\
& +6 \cos(2\kappa_1) \cos(2\phi_n) \cos(2\theta) \sin \kappa_1 \sin(2\phi_n) \sin(2\psi) \\
& -16 \cos(2\kappa_1) \cos(2\phi_n) \cos(2\theta) \sin(2\kappa_1) \\
& -112 \cos(2\kappa_1) \cos(2\phi_n) \cos(2\theta) \sin(2\theta) \sin \phi_n \\
& -9 \cos(2\kappa_1) \cos(2\phi_n) \sin \kappa_1 \sin(2\phi_n) \sin(2\psi) + 8 \cos(2\kappa_1) \cos(2\phi_n) \sin(2\kappa_1) \\
& -112 \cos(2\kappa_1) \cos(2\phi_n) \sin(2\theta) \sin \phi_n \\
& -136 \cos(2\kappa_1) \cos^2(2\psi) \cos^2(2\theta) \sin(2\kappa_1) \\
& +48 \cos(2\kappa_1) \cos^2(2\psi) \cos(2\theta) \sin(2\kappa_1) \\
& +224 \cos(2\kappa_1) \cos^2(2\psi) \cos(2\theta) \sin(2\theta) \sin \phi_n + 88 \cos(2\kappa_1) \cos^2(2\psi) \sin(2\kappa_1) \\
& +96 \cos(2\kappa_1) \cos^2(2\psi) \sin(2\theta) \sin \phi_n \\
& +336 \cos(2\kappa_1) \cos(2\psi) \cos^2(2\theta) \sin \kappa_1 \sin(2\phi_n) \sin(2\psi) \\
& +17 \cos(2\kappa_1) \cos(2\psi) \cos^2(2\theta) \sin(2\kappa_1) \\
& +96 \cos(2\kappa_1) \cos(2\psi) \cos(2\theta) \sin \kappa_1 \sin(2\phi_n) \sin(2\psi) \\
& -6 \cos(2\kappa_1) \cos(2\psi) \cos(2\theta) \sin(2\kappa_1) - 4 \cos(2\kappa_1) \cos(2\psi) \cos(2\theta) \sin(2\theta) \sin \phi_n \\
& -48 \cos(2\kappa_1) \cos(2\psi) \sin \kappa_1 \sin(2\phi_n) \sin(2\psi) - 11 \cos(2\kappa_1) \cos(2\psi) \sin(2\kappa_1) \\
& -12 \cos(2\kappa_1) \cos(2\psi) \sin(2\theta) \sin \phi_n \\
& -21 \cos(2\kappa_1) \cos^2(2\theta) \sin \kappa_1 \sin(2\phi_n) \sin(2\psi) + 68 \cos(2\kappa_1) \cos^2(2\theta) \sin(2\kappa_1) \\
& -78 \cos(2\kappa_1) \cos(2\theta) \sin \kappa_1 \sin(2\phi_n) \sin(2\psi) - 24 \cos(2\kappa_1) \cos(2\theta) \sin(2\kappa_1) \\
& -112 \cos(2\kappa_1) \cos(2\theta) \sin(2\theta) \sin \phi_n + 3 \cos(2\kappa_1) \sin \kappa_1 \sin(2\phi_n) \sin(2\psi) \\
& -44 \cos(2\kappa_1) \sin(2\kappa_1) - 48 \cos(2\kappa_1) \sin(2\theta) \sin \phi_n \\
& -56 \cos^2(2\phi_n) \cos^2(2\psi) \cos^2(2\theta) \sin(2\kappa_1) \\
& -112 \cos^2(2\phi_n) \cos^2(2\psi) \cos(2\theta) \sin(2\kappa_1) + 168 \cos^2(2\phi_N) \cos^2(2\psi) \sin(2\kappa_1) \\
& +\cos^2(2\phi_n) \cos(2\psi) \cos^2(2\theta) \sin(2\kappa_1) + 2 \cos^2(2\phi_n) \cos(2\psi) \cos(2\theta) \sin(2\kappa_1) \\
& -3 \cos^2(2\phi_n) \cos(2\psi) \sin(2\kappa_1) + 28 \cos^2(2\phi_n) \cos^2(2\theta) \sin(2\kappa_1) \\
& +56 \cos^2(2\phi_n) \cos(2\theta) \sin(2\kappa_1) - 84 \cos^2(2\phi_n) \sin(2\kappa_1) \\
& +112 \cos(2\phi_n) \cos^2(2\psi) \cos^2(2\theta) \sin(2\kappa_1) + 32 \cos(2\phi_n) \cos^2(2\psi) \cos(2\theta) \sin(2\kappa_1) \\
& -32 \cos(2\phi_n) \cos^2(2\psi) \cos(2\theta) \sin(2\theta) \sin \phi_n - 16 \cos(2\phi_n) \cos^2(2\psi) \sin(2\kappa_1) \\
& -32 \cos(2\phi_n) \cos^2(2\psi) \sin(2\theta) \sin \phi_n - 2 \cos(2\phi_n) \cos(2\psi) \cos^2(2\theta) \sin(2\kappa_1) \\
& -80 \cos(2\phi_n) \cos(2\psi) \cos^2(2\theta) \sin \kappa_1 \sin(2\phi_n) \sin(2\psi) \\
& -160 \cos(2\phi_n) \cos(2\psi) \cos(2\theta) \sin \kappa_1 \sin(2\phi_n) \sin(2\psi)
\end{aligned}$$

$$\begin{aligned}
& -58 \cos(2\phi_n) \cos(2\psi) \cos(2\theta) \sin(2\kappa_1) \\
& +4 \cos(2\phi_n) \cos(2\psi) \cos(2\theta) \sin(2\theta) \sin \phi_n \\
& +240 \cos(2\phi_n) \cos(2\psi) \sin \kappa_1 \sin(2\phi_n) \sin(2\psi) \\
& +20 \cos(2\phi_n) \cos(2\psi) \sin(2\kappa_1) +4 \cos(2\phi_n) \cos(2\psi) \sin(2\theta) \sin \phi_n \\
& +\cos(2\phi_n) \cos^2(2\theta) \sin \kappa_1 \sin(2\phi_n) \sin(2\psi) \\
& -56 \cos(2\phi_n) \cos^2(2\theta) \sin(2\kappa_1) -16 \cos(2\phi_n) \cos(2\theta) \sin(2\kappa_1) \\
& +2 \cos(2\phi_n) \cos(2\theta) \sin \kappa_1 \sin(2\phi_n) \sin(2\psi) \\
& +16 \cos(2\phi_n) \cos(2\theta) \sin(2\theta) \sin \phi_n +8 \cos(2\phi_n) \sin(2\kappa_1) \\
& -3 \cos(2\phi_n) \sin \kappa_1 \sin(2\phi_n) \sin(2\psi) +16 \cos(2\phi_n) \sin(2\theta) \sin \phi_n \\
& +168 \cos^2(2\psi) \cos^2(2\theta) \sin(2\kappa_1) +16 \cos^2(2\psi) \cos(2\theta) \sin(2\kappa_1) \\
& +96 \cos^2(2\psi) \cos(2\theta) \sin(2\theta) \sin \phi_n -184 \cos^2(2\psi) \sin(2\kappa_1) \\
& -32 \cos^2(2\psi) \sin(2\theta) \sin \phi_n -20 \cos(2\psi) \cos(2\theta) \sin(2\kappa_1) \\
& +112 \cos(2\psi) \cos^2(2\theta) \sin \kappa_1 \sin(2\phi_n) \sin(2\psi) \\
& -3 \cos(2\psi) \cos^2(2\theta) \sin(2\kappa_1) -12 \cos(2\psi) \cos(2\theta) \sin(2\theta) \sin \phi_n \\
& +32 \cos(2\psi) \cos(2\theta) \sin \kappa_1 \sin(2\phi_n) \sin(2\psi) \\
& -16 \cos(2\psi) \sin \kappa_1 \sin(2\phi_n) \sin(2\psi) +23 \cos(2\psi) \sin(2\kappa_1) \\
& +4 \cos(2\psi) \sin(2\theta) \sin \phi_n -11 \cos^2(2\theta) \sin \kappa_1 \sin(2\phi_n) \sin(2\psi) \\
& -84 \cos^2(2\theta) \sin(2\kappa_1) -46 \cos(2\theta) \sin \kappa_1 \sin(2\phi_n) \sin(2\psi) - \\
& 8 \cos(2\theta) \sin(2\kappa_1) -48 \cos(2\theta) \sin(2\theta) \sin \phi_n +41 \sin \kappa_1 \sin(2\phi_n) \sin(2\psi) \\
& +92 \sin(2\kappa_1) +16 \sin(2\theta) \sin \phi_n)/24 + (3(4 \cos \kappa_1 \cos \phi_n \sin(2\psi) \sin(2\theta) \\
& -4 \cos(2\kappa_1) \cos(2\psi) \sin(2\theta) \sin \phi_n +\cos(2\phi_n) \cos(2\psi) \cos(2\theta) \sin(2\kappa_1) \\
& +3 \cos(2\phi_n) \cos(2\psi) \sin(2\kappa_1) -3 \cos(2\psi) \cos(2\theta) \sin(2\kappa_1) \\
& +3 \cos(2\psi) \sin(2\kappa_1) +2 \cos(2\theta) \sin \kappa_1 \sin(2\phi_n) \sin(2\psi) \\
& +6 \sin \kappa_1 \sin(2\phi_n) \sin(2\psi)))/2
\end{aligned} \tag{B.14}$$

$$\begin{aligned}
h_+^{1,2} = & ((1 - 3\eta)(144 \cos \kappa_1 \cos(2\kappa_1) \cos(2\phi_n) \cos(2\psi) \cos^2(2\theta) \sin(2\phi_n) \sin(2\psi) \\
& + 288 \cos \kappa_1 \cos(2\kappa_1) \cos(2\phi_n) \cos(2\psi) \cos(2\theta) \sin(2\phi_n) \sin(2\psi) \\
& - 432 \cos \kappa_1 \cos(2\kappa_1) \cos(2\phi_n) \cos(2\psi) \sin(2\phi_n) \sin(2\psi) \\
& - 9 \cos \kappa_1 \cos(2\kappa_1) \cos(2\phi_n) \cos^2(2\theta) \sin(2\phi_n) \sin(2\psi) \\
& - 18 \cos \kappa_1 \cos(2\kappa_1) \cos(2\phi_n) \cos(2\theta) \sin(2\phi_n) \sin(2\psi) \\
& + 27 \cos \kappa_1 \cos(2\kappa_1) \cos(2\phi_n) \sin(2\phi_n) \sin(2\psi) \\
& - 1008 \cos \kappa_1 \cos(2\kappa_1) \cos(2\psi) \cos^2(2\theta) \sin(2\phi_n) \sin(2\psi) \\
& - 288 \cos \kappa_1 \cos(2\kappa_1) \cos(2\psi) \cos(2\theta) \sin(2\phi_n) \sin(2\psi) \\
& + 144 \cos \kappa_1 \cos(2\kappa_1) \cos(2\psi) \sin(2\phi_n) \sin(2\psi) \\
& + 63 \cos \kappa_1 \cos(2\kappa_1) \cos^2(2\theta) \sin(2\phi_n) \sin(2\psi) \\
& + 234 \cos \kappa_1 \cos(2\kappa_1) \cos(2\theta) \sin(2\phi_n) \sin(2\psi) \\
& - 9 \cos \kappa_1 \cos(2\kappa_1) \sin(2\phi_n) \sin(2\psi) - 15 \cos \kappa_1 \cos(2\phi_n) \sin(2\phi_n) \sin(2\psi) \\
& - 16 \cos \kappa_1 \cos(2\phi_n) \cos(2\psi) \cos^2(2\theta) \sin(2\phi_n) \sin(2\psi) \\
& - 32 \cos \kappa_1 \cos(2\phi_n) \cos(2\psi) \cos(2\theta) \sin(2\phi_n) \sin(2\psi) \\
& + 48 \cos \kappa_1 \cos(2\phi_n) \cos(2\psi) \sin(2\phi_n) \sin(2\psi) \\
& + 5 \cos \kappa_1 \cos(2\phi_n) \cos^2(2\theta) \sin(2\phi_n) \sin(2\psi) \\
& + 10 \cos \kappa_1 \cos(2\phi_n) \cos(2\theta) \sin(2\phi_n) \sin(2\psi) \\
& + 560 \cos \kappa_1 \cos(2\psi) \cos^2(2\theta) \sin(2\phi_n) \sin(2\psi) \\
& + 160 \cos \kappa_1 \cos(2\psi) \cos(2\theta) \sin(2\phi_n) \sin(2\psi) \\
& - 80 \cos \kappa_1 \cos(2\psi) \sin(2\phi_n) \sin(2\psi) - 31 \cos \kappa_1 \cos^2(2\theta) \sin(2\phi_n) \sin(2\psi) \\
& - 110 \cos \kappa_1 \cos(2\theta) \sin(2\phi_n) \sin(2\psi) - 35 \cos \kappa_1 \sin(2\phi_n) \sin(2\psi) \\
& + 32 \cos^2(2\kappa_1) \cos^2(2\phi_n) \cos^2(2\psi) \cos^2(2\theta) \\
& + 64 \cos^2(2\kappa_1) \cos^2(2\phi_n) \cos^2(2\psi) \cos(2\theta) + 48 \cos^2(2\kappa_1) \cos^2(2\phi_n) \\
& - 96 \cos^2(2\kappa_1) \cos^2(2\phi_n) \cos^2(2\psi) - 4 \cos^2(2\kappa_1) \cos^2(2\phi_n) \cos(2\psi) \cos^2(2\theta) \\
& - 8 \cos^2(2\kappa_1) \cos^2(2\phi_n) \cos(2\psi) \cos(2\theta) + 12 \cos^2(2\kappa_1) \cos^2(2\phi_n) \cos(2\psi) \\
& - 16 \cos^2(2\kappa_1) \cos^2(2\phi_n) \cos^2(2\theta) - 32 \cos^2(2\kappa_1) \cos^2(2\phi_n) \cos(2\theta) \\
& - 448 \cos^2(2\kappa_1) \cos(2\phi_n) \cos^2(2\psi) \cos^2(2\theta) \\
& - 128 \cos^2(2\kappa_1) \cos(2\phi_n) \cos^2(2\psi) \cos(2\theta) + 64 \cos^2(2\kappa_1) \cos(2\phi_n) \cos^2(2\psi) \\
& + 56 \cos^2(2\kappa_1) \cos(2\phi_n) \cos(2\psi) \cos^2(2\theta) \\
& + 16 \cos^2(2\kappa_1) \cos(2\phi_n) \cos(2\psi) \cos(2\theta) - 8 \cos^2(2\kappa_1) \cos(2\phi_n) \cos(2\psi) \\
& + 224 \cos^2(2\kappa_1) \cos(2\phi_n) \cos^2(2\theta) + 64 \cos^2(2\kappa_1) \cos(2\phi_n) \cos(2\theta) \\
& - 32 \cos^2(2\kappa_1) \cos(2\phi_n) + 544 \cos^2(2\kappa_1) \cos^2(2\psi) \cos^2(2\theta) \\
& - 192 \cos^2(2\kappa_1) \cos^2(2\psi) \cos(2\theta) - 352 \cos^2(2\kappa_1) \cos^2(2\psi) \\
& - 68 \cos^2(2\kappa_1) \cos(2\psi) \cos^2(2\theta) + 24 \cos^2(2\kappa_1) \cos(2\psi) \cos(2\theta) \\
& - 272 \cos^2(2\kappa_1) \cos^2(2\theta) + 96 \cos^2(2\kappa_1) \cos(2\theta) + 176 \cos^2(2\kappa_1) \\
& + 112 \cos(2\kappa_1) \cos^2(2\phi_n) \cos^2(2\psi) \cos^2(2\theta) + 44 \cos^2(2\kappa_1) \cos(2\psi) \\
& + 224 \cos(2\kappa_1) \cos^2(2\phi_n) \cos^2(2\psi) \cos(2\theta) \\
& - 2 \cos(2\kappa_1) \cos^2(2\phi_n) \cos(2\psi) \cos^2(2\theta) - 336 \cos(2\kappa_1) \cos^2(2\phi_n) \cos^2(2\psi)
\end{aligned}$$

$$\begin{aligned}
& -4 \cos(2\kappa_1) \cos^2(2\phi_n) \cos(2\psi) \cos(2\theta) + 6 \cos(2\kappa_1) \cos^2(2\phi_n) \cos(2\psi) \\
& -56 \cos(2\kappa_1) \cos^2(2\phi_n) \cos^2(2\theta) - 112 \cos(2\kappa_1) \cos^2(2\phi_n) \cos(2\theta) \\
& +168 \cos(2\kappa_1) \cos^2(2\phi_n) - 224 \cos(2\kappa_1) \cos(2\phi_n) \cos^2(2\psi) \cos^2(2\theta) \\
& +256 \cos(2\kappa_1) \cos(2\phi_n) \cos^2(2\psi) \cos(2\theta) \sin(2\kappa_1) \sin(2\theta) \sin \phi_n \\
& -64 \cos(2\kappa_1) \cos(2\phi_n) \cos^2(2\psi) \cos(2\theta) \\
& +256 \cos(2\kappa_1) \cos(2\phi_n) \cos^2(2\psi) \sin(2\kappa_1) \sin(2\theta) \sin \phi_n \\
& +32 \cos(2\kappa_1) \cos(2\phi_n) \cos^2(2\psi) + 4 \cos(2\kappa_1) \cos(2\phi_n) \cos(2\psi) \cos^2(2\theta) \\
& -864 \cos(2\kappa_1) \cos(2\phi_n) \cos(2\psi) \cos(2\theta) \cos \phi_n \sin \kappa_1 \sin(2\psi) \sin(2\theta) \\
& -32 \cos(2\kappa_1) \cos(2\phi_n) \cos(2\psi) \cos(2\theta) \sin(2\kappa_1) \sin(2\theta) \sin \phi_n \\
& +116 \cos(2\kappa_1) \cos(2\phi_n) \cos(2\psi) \cos(2\theta) \\
& -864 \cos(2\kappa_1) \cos(2\phi_n) \cos(2\psi) \cos \phi_n \sin \kappa_1 \sin(2\psi) \sin(2\theta) \\
& -32 \cos(2\kappa_1) \cos(2\phi_n) \cos(2\psi) \sin(2\kappa_1) \sin(2\theta) \sin \phi_n \\
& -40 \cos(2\kappa_1) \cos(2\phi_n) \cos(2\psi) + 112 \cos(2\kappa_1) \cos(2\phi_n) \cos^2(2\theta) \\
& +54 \cos(2\kappa_1) \cos(2\phi_n) \cos(2\theta) \cos \phi_n \sin \kappa_1 \sin(2\psi) \sin(2\theta) \\
& -128 \cos(2\kappa_1) \cos(2\phi_n) \cos(2\theta) \sin(2\kappa_1) \sin(2\theta) \sin \phi_n \\
& +32 \cos(2\kappa_1) \cos(2\phi_n) \cos(2\theta) - 16 \cos(2\kappa_1) \cos(2\phi_n) \\
& +162 \cos(2\kappa_1) \cos(2\phi_n) \cos \phi_n \sin \kappa_1 \sin(2\psi) \sin(2\theta) \\
& -128 \cos(2\kappa_1) \cos(2\phi_n) \sin(2\kappa_1) \sin(2\theta) \sin \phi_n \\
& -336 \cos(2\kappa_1) \cos^2(2\psi) \cos^2(2\theta) - 32 \cos(2\kappa_1) \cos^2(2\psi) \cos(2\theta) \\
& -768 \cos(2\kappa_1) \cos^2(2\psi) \cos(2\theta) \sin(2\kappa_1) \sin(2\theta) \sin \phi_n \\
& +256 \cos(2\kappa_1) \cos^2(2\psi) \sin(2\kappa_1) \sin(2\theta) \sin \phi_n \\
& +368 \cos(2\kappa_1) \cos^2(2\psi) + 6 \cos(2\kappa_1) \cos(2\psi) \cos^2(2\theta) \\
& +1440 \cos(2\kappa_1) \cos(2\psi) \cos(2\theta) \cos \phi_n \sin \kappa_1 \sin(2\psi) \sin(2\theta) \\
& +96 \cos(2\kappa_1) \cos(2\psi) \cos(2\theta) \sin(2\kappa_1) \sin(2\theta) \sin \phi_n \\
& +40 \cos(2\kappa_1) \cos(2\psi) \cos(2\theta) - 46 \cos(2\kappa_1) \cos(2\psi) \\
& +288 \cos(2\kappa_1) \cos(2\psi) \cos \phi_n \sin \kappa_1 \sin(2\psi) \sin(2\theta) \\
& -32 \cos(2\kappa_1) \cos(2\psi) \sin(2\kappa_1) \sin(2\theta) \sin \phi_n \\
& +168 \cos(2\kappa_1) \cos^2(2\theta) + 16 \cos(2\kappa_1) \cos(2\theta) \\
& -90 \cos(2\kappa_1) \cos(2\theta) \cos \phi_n \sin \kappa_1 \sin(2\psi) \sin(2\theta) \\
& +384 \cos(2\kappa_1) \cos(2\theta) \sin(2\kappa_1) \sin(2\theta) \sin \phi_n \\
& -342 \cos(2\kappa_1) \cos \phi_n \sin \kappa_1 \sin(2\psi) \sin(2\theta) \\
& -128 \cos(2\kappa_1) \sin(2\kappa_1) \sin(2\theta) \sin \phi_n - 6 \cos^2(2\phi_n) \cos(2\psi) \\
& -184 \cos(2\kappa_1) - 16 \cos^2(2\phi_n) \cos^2(2\psi) \cos^2(2\theta) \\
& -32 \cos^2(2\phi_n) \cos^2(2\psi) \cos(2\theta) + 48 \cos^2(2\phi_n) \cos^2(2\psi) \\
& +2 \cos^2(2\phi_n) \cos(2\psi) \cos^2(2\theta) + 4 \cos^2(2\phi_n) \cos(2\psi) \cos(2\theta) \\
& +16 \cos^2(2\phi_n) \cos(2\theta) - 24 \cos^2(2\phi_n) \\
& +224 \cos(2\phi_n) \cos^2(2\psi) \cos^2(2\theta) + 8 \cos^2(2\phi_n) \cos^2(2\theta) \\
& +448 \cos(2\phi_n) \cos^2(2\psi) \cos(2\theta) \sin(2\kappa_1) \sin(2\theta) \sin \phi_n
\end{aligned}$$

$$\begin{aligned}
& +64 \cos(2\phi_n) \cos^2(2\psi) \cos(2\theta) - 8 \cos(2\phi_n) \cos(2\psi) \cos(2\theta) \\
& +448 \cos(2\phi_n) \cos^2(2\psi) \sin(2\kappa_1) \sin(2\theta) \sin \phi_n \\
& -32 \cos(2\phi_n) \cos^2(2\psi) - 28 \cos(2\phi_n) \cos(2\psi) \cos^2(2\theta) \\
& -544 \cos(2\phi_n) \cos(2\psi) \cos(2\theta) \cos \phi_n \sin \kappa_1 \sin(2\psi) \sin(2\theta) \\
& -8 \cos(2\phi_n) \cos(2\psi) \cos(2\theta) \sin(2\kappa_1) \sin(2\theta) \sin \phi_n \\
& -544 \cos(2\phi_n) \cos(2\psi) \cos \phi_n \sin \kappa_1 \sin(2\psi) \sin(2\theta) \\
& -104 \cos(2\phi_n) \cos(2\psi) \sin(2\kappa_1) \sin(2\theta) \sin \phi_n + 4 \cos(2\phi_n) \cos(2\psi) \\
& -112 \cos(2\phi_n) \cos^2(2\theta) - 32 \cos(2\phi_n) \cos(2\theta) \\
& +26 \cos(2\phi_n) \cos(2\theta) \cos \phi_n \sin \kappa_1 \sin(2\psi) \sin(2\theta) \\
& -224 \cos(2\phi_n) \cos(2\theta) \sin(2\kappa_1) \sin(2\theta) \sin \phi_n \\
& +110 \cos(2\phi_n) \cos \phi_n \sin \kappa_1 \sin(2\psi) \sin(2\theta) \\
& -224 \cos(2\phi_n) \sin(2\kappa_1) \sin(2\theta) \sin \phi_n + 16 \cos(2\phi_n) \\
& -272 \cos^2(2\psi) \cos^2(2\theta) + 96 \cos^2(2\psi) \cos(2\theta) \\
& +448 \cos^2(2\psi) \cos(2\theta) \sin(2\kappa_1) \sin(2\theta) \sin \phi_n \\
& +192 \cos^2(2\psi) \sin(2\kappa_1) \sin(2\theta) \sin \phi_n + 176 \cos^2(2\psi) \\
& +34 \cos(2\psi) \cos^2(2\theta) - 12 \cos(2\psi) \cos(2\theta) \\
& +608 \cos(2\psi) \cos(2\theta) \cos \phi_n \sin \kappa_1 \sin(2\psi) \sin(2\theta) \\
& -8 \cos(2\psi) \cos(2\theta) \sin(2\kappa_1) \sin(2\theta) \sin \phi_n \\
& +224 \cos(2\psi) \cos \phi_n \sin \kappa_1 \sin(2\psi) \sin(2\theta) \\
& -24 \cos(2\psi) \sin(2\kappa_1) \sin(2\theta) \sin \phi_n - 22 \cos(2\psi) + 136 \cos^2(2\theta) \\
& -46 \cos(2\theta) \cos \phi_n \sin \kappa_1 \sin(2\psi) \sin(2\theta) \\
& -224 \cos(2\theta) \sin(2\kappa_1) \sin(2\theta) \sin \phi_n - 48 \cos(2\theta) \\
& -154 \cos \phi_n \sin \kappa_1 \sin(2\psi) \sin(2\theta) - 96 \sin(2\kappa_1) \sin(2\theta) \sin \phi_n - 88)) / 48 \\
& +(3(-\cos \kappa_1 \cos(2\theta) \sin(2\phi_n) \sin(2\psi) - 3 \cos \kappa_1 \sin(2\phi_n) \sin(2\psi) \\
& -\cos(2\kappa_1) \cos(2\phi_n) \cos(2\psi) \cos(2\theta) - 3 \cos(2\kappa_1) \cos(2\phi_n) \cos(2\psi) \\
& +3 \cos(2\kappa_1) \cos(2\psi) \cos(2\theta) - 3 \cos(2\kappa_1) \cos(2\psi) \\
& -4 \cos(2\psi) \sin(2\kappa_1) \sin(2\theta) \sin \phi_n + 2 \cos \phi_n \sin \kappa_1 \sin(2\psi) \sin(2\theta))) / 2 \quad (\text{B.15})
\end{aligned}$$

$$\begin{aligned}
h_x^{1,0} = & ((1 - 3\eta)(-64 \cos \kappa_1 \cos(2\kappa_1) \cos^2(2\phi_n) \cos(2\psi) \cos(2\theta) \cos \theta \sin(2\psi) \\
& + 64 \cos \kappa_1 \cos(2\kappa_1) \cos^2(2\phi_n) \cos(2\psi) \cos \theta \sin(2\psi) \\
& + 4 \cos \kappa_1 \cos(2\kappa_1) \cos^2(2\phi_n) \cos(2\theta) \cos \theta \sin(2\psi) \\
& - 4 \cos \kappa_1 \cos(2\kappa_1) \cos^2(2\phi_n) \cos \theta \sin(2\psi) \\
& + 224 \cos \kappa_1 \cos(2\kappa_1) \cos(2\phi_n) \cos(2\psi) \cos(2\theta) \cos \theta \sin(2\psi) \\
& - 96 \cos \kappa_1 \cos(2\kappa_1) \cos(2\phi_n) \cos(2\psi) \cos(2\theta) \cos \theta \sin(2\psi) \\
& - 32 \cos \kappa_1 \cos(2\kappa_1) \cos(2\phi_n) \cos(2\theta) \cos \theta \sin(2\psi) \\
& + 32 \cos \kappa_1 \cos(2\kappa_1) \cos(2\psi) \cos(2\theta) \cos \theta \sin(2\psi) \\
& - 32 \cos \kappa_1 \cos(2\kappa_1) \cos(2\psi) \cos \theta \sin(2\psi) \\
& + 28 \cos \kappa_1 \cos(2\kappa_1) \cos(2\theta) \cos \theta \sin(2\psi) \\
& - 28 \cos \kappa_1 \cos(2\kappa_1) \cos \theta \sin(2\psi) + 4 \cos \kappa_1 \cos^2(2\phi_n) \cos \theta \sin(2\psi) \\
& - 192 \cos \kappa_1 \cos^2(2\phi_n) \cos(2\psi) \cos(2\theta) \cos \theta \sin(2\psi) \\
& + 192 \cos \kappa_1 \cos^2(2\phi_n) \cos(2\psi) \cos \theta \sin(2\psi) \\
& - 4 \cos \kappa_1 \cos^2(2\phi_n) \cos(2\theta) \cos \theta \sin(2\psi) \\
& - 224 \cos \kappa_1 \cos(2\phi_n) \cos(2\psi) \cos(2\theta) \cos \theta \sin(2\psi) \\
& + 96 \cos \kappa_1 \cos(2\phi_n) \cos(2\psi) \cos \theta \sin(2\psi) \\
& + 48 \cos \kappa_1 \cos(2\phi_n) \cos \theta \sin(2\psi) - 96 \cos \kappa_1 \cos(2\psi) \cos \theta \sin(2\psi) \\
& + 96 \cos \kappa_1 \cos(2\psi) \cos(2\theta) \cos \theta \sin(2\psi) \\
& - 28 \cos \kappa_1 \cos(2\theta) \cos \theta \sin(2\psi) + 28 \cos \kappa_1 \cos \theta \sin(2\psi) \\
& + 8 \cos^2(2\kappa_1) \cos(2\phi_n) \cos^2(2\psi) \cos(2\theta) \cos \theta \sin(2\phi_n) \\
& - 8 \cos^2(2\kappa_1) \cos(2\phi_n) \cos^2(2\psi) \cos \theta \sin(2\phi_n) \\
& - \cos^2(2\kappa_1) \cos(2\phi_n) \cos(2\psi) \cos(2\theta) \cos \theta \sin(2\phi_n) \\
& + \cos^2(2\kappa_1) \cos(2\phi_n) \cos(2\psi) \cos \theta \sin(2\phi_n) \\
& - 4 \cos^2(2\kappa_1) \cos(2\phi_n) \cos(2\theta) \cos \theta \sin(2\phi_n) \\
& + 4 \cos^2(2\kappa_1) \cos(2\phi_n) \cos \theta \sin(2\phi_n) \\
& - 56 \cos^2(2\kappa_1) \cos^2(2\psi) \cos(2\theta) \cos \theta \sin(2\phi_n) \\
& + 24 \cos^2(2\kappa_1) \cos^2(2\psi) \cos \theta \sin(2\phi_n) \\
& + 7 \cos^2(2\kappa_1) \cos(2\psi) \cos(2\theta) \cos \theta \sin(2\phi_n) \\
& - 3 \cos^2(2\kappa_1) \cos(2\psi) \cos \theta \sin(2\phi_n) \\
& + 28 \cos^2(2\kappa_1) \cos(2\theta) \cos \theta \sin(2\phi_n) - 12 \cos^2(2\kappa_1) \cos \theta \sin(2\phi_n) \\
& - 48 \cos(2\kappa_1) \cos(2\phi_n) \cos^2(2\psi) \cos(2\theta) \cos \phi_n \sin(2\kappa_1) \sin \theta \\
& + 112 \cos(2\kappa_1) \cos(2\phi_n) \cos^2(2\psi) \cos(2\theta) \cos \theta \sin(2\phi_n) \\
& - 16 \cos(2\kappa_1) \cos(2\phi_n) \cos^2(2\psi) \cos \phi_n \sin(2\kappa_1) \sin \theta \\
& - 112 \cos(2\kappa_1) \cos(2\phi_n) \cos^2(2\psi) \cos \theta \sin(2\phi_n) \\
& + 6 \cos(2\kappa_1) \cos(2\phi_n) \cos(2\psi) \cos(2\theta) \cos \phi_n \sin(2\kappa_1) \sin \theta \\
& - 2 \cos(2\kappa_1) \cos(2\phi_n) \cos(2\psi) \cos(2\theta) \cos \theta \sin(2\phi_n) \\
& - 288 \cos(2\kappa_1) \cos(2\phi_n) \cos(2\psi) \cos(2\theta) \sin \kappa_1 \sin(2\psi) \sin \phi_n \sin \theta \\
& + 2 \cos(2\kappa_1) \cos(2\phi_n) \cos(2\psi) \cos \phi_n \sin(2\kappa_1) \sin \theta
\end{aligned}$$

$$\begin{aligned}
& +2 \cos(2\kappa_1) \cos(2\phi_n) \cos(2\psi) \cos \theta \sin(2\phi_n) \\
& -96 \cos(2\kappa_1) \cos(2\phi_n) \cos(2\psi) \sin \kappa_1 \sin(2\psi) \sin \phi_n \sin \theta \\
& +24 \cos(2\kappa_1) \cos(2\phi_n) \cos(2\theta) \cos \phi_n \sin(2\kappa_1) \sin \theta \\
& -56 \cos(2\kappa_1) \cos(2\phi_n) \cos(2\theta) \cos \theta \sin(2\phi_n) \\
& +24 \cos(2\kappa_1) \cos(2\phi_n) \cos(2\theta) \sin \kappa_1 \sin(2\psi) \sin \phi_n \sin \theta \\
& +8 \cos(2\kappa_1) \cos(2\phi_n) \cos \phi_n \sin(2\kappa_1) \sin \theta \\
& +56 \cos(2\kappa_1) \cos(2\phi_n) \cos \theta \sin(2\phi_n) \\
& +24 \cos(2\kappa_1) \cos(2\phi_n) \sin \kappa_1 \sin(2\psi) \sin \phi_n \sin \theta \\
& +80 \cos(2\kappa_1) \cos^2(2\psi) \cos(2\theta) \cos \phi_n \sin(2\kappa_1) \sin \theta \\
& -112 \cos(2\kappa_1) \cos^2(2\psi) \cos(2\theta) \cos \theta \sin(2\phi_n) \\
& +48 \cos(2\kappa_1) \cos^2(2\psi) \cos \phi_n \sin(2\kappa_1) \sin \theta \\
& +48 \cos(2\kappa_1) \cos^2(2\psi) \cos \theta \sin(2\phi_n) \\
& -10 \cos(2\kappa_1) \cos(2\psi) \cos(2\theta) \cos \phi_n \sin(2\kappa_1) \sin \theta \\
& +26 \cos(2\kappa_1) \cos(2\psi) \cos(2\theta) \cos \theta \sin(2\phi_n) \\
& -32 \cos(2\kappa_1) \cos(2\psi) \cos(2\theta) \sin \kappa_1 \sin(2\psi) \sin \phi_n \sin \theta \\
& -6 \cos(2\kappa_1) \cos(2\psi) \cos \phi_n \sin(2\kappa_1) \sin \theta \\
& -6 \cos(2\kappa_1) \cos(2\psi) \cos \theta \sin(2\phi_n) - 24 \cos(2\kappa_1) \cos \phi_n \sin(2\kappa_1) \sin \theta \\
& +32 \cos(2\kappa_1) \cos(2\psi) \sin \kappa_1 \sin(2\psi) \sin \phi_n \sin \theta \\
& -40 \cos(2\kappa_1) \cos(2\theta) \cos \phi_n \sin(2\kappa_1) \sin \theta \\
& +56 \cos(2\kappa_1) \cos(2\theta) \cos \theta \sin(2\phi_n) - 24 \cos(2\kappa_1) \cos \theta \sin(2\phi_n) \\
& -40 \cos(2\kappa_1) \cos(2\theta) \sin \kappa_1 \sin(2\psi) \sin \phi_n \sin \theta \\
& -8 \cos(2\kappa_1) \sin \kappa_1 \sin(2\psi) \sin \phi_n \sin \theta \\
& -336 \cos(2\phi_n) \cos^2(2\psi) \cos(2\theta) \cos \phi_n \sin(2\kappa_1) \sin \theta \\
& +136 \cos(2\phi_n) \cos^2(2\psi) \cos(2\theta) \cos \theta \sin(2\phi_n) \\
& -112 \cos(2\phi_n) \cos^2(2\psi) \cos \phi_n \sin(2\kappa_1) \sin \theta \\
& -136 \cos(2\phi_n) \cos^2(2\psi) \cos \theta \sin(2\phi_n) \\
& +18 \cos(2\phi_n) \cos(2\psi) \cos(2\theta) \cos \phi_n \sin(2\kappa_1) \sin \theta \\
& +3 \cos(2\phi_n) \cos(2\psi) \cos(2\theta) \cos \theta \sin(2\phi_n) \\
& -480 \cos(2\phi_n) \cos(2\psi) \cos(2\theta) \sin \kappa_1 \sin(2\psi) \sin \phi_n \sin \theta \\
& +38 \cos(2\phi_n) \cos(2\psi) \cos \phi_n \sin(2\kappa_1) \sin \theta \\
& -3 \cos(2\phi_n) \cos(2\psi) \cos \theta \sin(2\phi_n) - 72 \cos^2(2\psi) \cos \theta \sin(2\phi_n) \\
& -160 \cos(2\phi_n) \cos(2\psi) \sin \kappa_1 \sin(2\psi) \sin \phi_n \sin \theta \\
& +168 \cos(2\phi_n) \cos(2\theta) \cos \phi_n \sin(2\kappa_1) \sin \theta \\
& +24 \cos(2\phi_n) \cos(2\theta) \sin \kappa_1 \sin(2\psi) \sin \phi_n \sin \theta \\
& +56 \cos(2\phi_n) \cos \phi_n \sin(2\kappa_1) \sin \theta + 68 \cos(2\phi_n) \cos \theta \sin(2\phi_n) \\
& +56 \cos(2\phi_n) \sin \kappa_1 \sin(2\psi) \sin \phi_n \sin \theta \\
& +112 \cos^2(2\psi) \cos(2\theta) \cos \phi_n \sin(2\kappa_1) \sin \theta \\
& +168 \cos^2(2\psi) \cos(2\theta) \cos \theta \sin(2\phi_n)
\end{aligned}$$

$$\begin{aligned}
& +16 \cos^2(2\psi) \cos \phi_n \sin(2\kappa_1) \sin \theta \\
& -68 \cos(2\phi_n) \cos(2\theta) \cos \theta \sin(2\phi_n) \\
& -38 \cos(2\psi) \cos(2\theta) \cos \phi_n \sin(2\kappa_1) \sin \theta \\
& -\cos(2\psi) \cos(2\theta) \cos \theta \sin(2\phi_n) \\
& -352 \cos(2\psi) \cos(2\theta) \sin \kappa_1 \sin(2\psi) \sin \phi_n \sin \theta \\
& -2 \cos(2\psi) \cos \phi_n \sin(2\kappa_1) \sin \theta - 39 \cos(2\psi) \cos \theta \sin(2\phi_n) \\
& -160 \cos(2\psi) \sin \kappa_1 \sin(2\psi) \sin \phi_n \sin \theta \\
& -56 \cos(2\theta) \cos \phi_n \sin(2\kappa_1) \sin \theta - 84 \cos(2\theta) \cos \theta \sin(2\phi_n) \\
& -8 \cos(2\theta) \sin \kappa_1 \sin(2\psi) \sin \phi_n \sin \theta - 8 \cos \phi_n \sin(2\kappa_1) \sin \theta \\
& +36 \cos \theta \sin(2\phi_n) + 72 \sin \kappa_1 \sin(2\psi) \sin \phi_n \sin \theta) / 24 \\
& +3(4 \cos \kappa_1 \cos(2\phi_n) \cos \theta \sin(2\psi) \\
& -\cos(2\kappa_1) \cos(2\psi) \cos \theta \sin(2\phi_n) \\
& +2 \cos(2\psi) \cos \phi_n \sin(2\kappa_1) \sin \theta - 3 \cos(2\psi) \cos \theta \sin(2\phi_n) \\
& +4 \sin \kappa_1 \sin(2\psi) \sin \phi_n \sin \theta)
\end{aligned} \tag{B.16}$$

$$\begin{aligned}
h_{\times}^{1 \ 1} = & ((1 - 3\eta)(216 \cos \kappa_1 \cos(2\kappa_1) \cos(2\phi_n) \cos(2\psi) \cos(2\theta) \sin(2\psi) \sin \phi_n \sin \theta \\
& + 72 \cos \kappa_1 \cos(2\kappa_1) \cos(2\phi_n) \cos(2\psi) \sin(2\psi) \sin \phi_n \sin \theta \\
& - 18 \cos \kappa_1 \cos(2\kappa_1) \cos(2\phi_n) \cos(2\theta) \sin(2\psi) \sin \phi_n \sin \theta \\
& - 18 \cos \kappa_1 \cos(2\kappa_1) \cos(2\phi_n) \sin(2\psi) \sin \phi_n \sin \theta \\
& + 24 \cos \kappa_1 \cos(2\kappa_1) \cos(2\psi) \cos(2\theta) \sin(2\psi) \sin \phi_n \sin \theta \\
& - 24 \cos \kappa_1 \cos(2\kappa_1) \cos(2\psi) \sin(2\psi) \sin \phi_n \sin \theta \\
& + 30 \cos \kappa_1 \cos(2\kappa_1) \cos(2\theta) \sin(2\psi) \sin \phi_n \sin \theta \\
& + 6 \cos \kappa_1 \cos(2\kappa_1) \sin(2\psi) \sin \phi_n \sin \theta \\
& - 24 \cos \kappa_1 \cos(2\phi_n) \cos(2\psi) \cos(2\theta) \sin(2\psi) \sin \phi_n \sin \theta \\
& - 8 \cos \kappa_1 \cos(2\phi_n) \cos(2\psi) \sin(2\psi) \sin \phi_n \sin \theta \\
& + 6 \cos \kappa_1 \cos(2\phi_n) \cos(2\theta) \sin(2\psi) \sin \phi_n \sin \theta \\
& - 2 \cos \kappa_1 \cos(2\phi_n) \sin(2\psi) \sin \phi_n \sin \theta \\
& + 72 \cos \kappa_1 \cos(2\psi) \cos(2\theta) \sin(2\psi) \sin \phi_n \sin \theta \\
& + 56 \cos \kappa_1 \cos(2\psi) \sin(2\psi) \sin \phi_n \sin \theta \\
& - 18 \cos \kappa_1 \cos(2\theta) \sin(2\psi) \sin \phi_n \sin \theta - 22 \cos \kappa_1 \sin(2\psi) \sin \phi_n \sin \theta \\
& + 48 \cos^2(2\kappa_1) \cos(2\phi_n) \cos^2(2\psi) \cos(2\theta) \cos \phi_n \sin \theta \\
& + 16 \cos^2(2\kappa_1) \cos(2\phi_n) \cos^2(2\psi) \cos \phi_n \sin \theta \\
& - 6 \cos^2(2\kappa_1) \cos(2\phi_n) \cos(2\psi) \cos(2\theta) \cos \phi_n \sin \theta \\
& - 2 \cos^2(2\kappa_1) \cos(2\phi_n) \cos(2\psi) \cos \phi_n \sin \theta \\
& - 24 \cos^2(2\kappa_1) \cos(2\phi_n) \cos(2\theta) \cos \phi_n \sin \theta \\
& - 8 \cos^2(2\kappa_1) \cos(2\phi_n) \cos \phi_n \sin \theta + 24 \cos^2(2\kappa_1) \cos \phi_n \sin \theta \\
& - 80 \cos^2(2\kappa_1) \cos^2(2\psi) \cos(2\theta) \cos \phi_n \sin \theta \\
& - 48 \cos^2(2\kappa_1) \cos^2(2\psi) \cos \phi_n \sin \theta \\
& + 10 \cos^2(2\kappa_1) \cos(2\psi) \cos(2\theta) \cos \phi_n \sin \theta \\
& + 6 \cos^2(2\kappa_1) \cos(2\psi) \cos \phi_n \sin \theta + 40 \cos^2(2\kappa_1) \cos(2\theta) \cos \phi_n \sin \theta \\
& - 48 \cos(2\kappa_1) \cos^2(2\phi_n) \cos(2\psi) \cos(2\theta) \cos \theta \sin \kappa_1 \sin(2\psi) \\
& + 48 \cos(2\kappa_1) \cos^2(2\phi_n) \cos(2\psi) \cos \theta \sin \kappa_1 \sin(2\psi) \\
& + 3 \cos(2\kappa_1) \cos^2(2\phi_n) \cos(2\theta) \cos \theta \sin \kappa_1 \sin(2\psi) \\
& - 3 \cos(2\kappa_1) \cos^2(2\phi_n) \cos \theta \sin \kappa_1 \sin(2\psi) \\
& + 168 \cos(2\kappa_1) \cos(2\phi_n) \cos^2(2\psi) \cos(2\theta) \cos \phi_n \sin \theta \\
& + 8 \cos(2\kappa_1) \cos(2\phi_n) \cos^2(2\psi) \cos(2\theta) \cos \theta \sin(2\kappa_1) \sin(2\phi_n) \\
& + 56 \cos(2\kappa_1) \cos(2\phi_n) \cos^2(2\psi) \cos \phi_n \sin \theta \\
& - 8 \cos(2\kappa_1) \cos(2\phi_n) \cos^2(2\psi) \cos \theta \sin(2\kappa_1) \sin(2\phi_n) \\
& - 9 \cos(2\kappa_1) \cos(2\phi_n) \cos(2\psi) \cos(2\theta) \cos \phi_n \sin \theta \\
& + 168 \cos(2\kappa_1) \cos(2\phi_n) \cos(2\psi) \cos(2\theta) \cos \theta \sin \kappa_1 \sin(2\psi) \\
& - \cos(2\kappa_1) \cos(2\phi_n) \cos(2\psi) \cos(2\theta) \cos \theta \sin(2\kappa_1) \sin(2\phi_n) \\
& - 19 \cos(2\kappa_1) \cos(2\phi_n) \cos(2\psi) \cos \phi_n \sin \theta \\
& - 72 \cos(2\kappa_1) \cos(2\phi_n) \cos(2\psi) \cos \theta \sin \kappa_1 \sin(2\psi)
\end{aligned}$$

$$\begin{aligned}
& + \cos(2\kappa_1) \cos(2\phi_n) \cos(2\psi) \cos \theta \sin(2\kappa_1) \sin(2\phi_n) \\
& - 84 \cos(2\kappa_1) \cos(2\phi_n) \cos(2\theta) \cos \phi_n \sin \theta \\
& - 24 \cos(2\kappa_1) \cos(2\phi_n) \cos(2\theta) \cos \theta \sin \kappa_1 \sin(2\psi) \\
& - 4 \cos(2\kappa_1) \cos(2\phi_n) \cos(2\theta) \cos \theta \sin(2\kappa_1) \sin(2\phi_n) \\
& - 28 \cos(2\kappa_1) \cos(2\phi_n) \cos \phi_n \sin \theta \\
& + 4 \cos(2\kappa_1) \cos(2\phi_n) \cos \theta \sin(2\kappa_1) \sin(2\phi_n) \\
& - 56 \cos(2\kappa_1) \cos^2(2\psi) \cos(2\theta) \cos \phi_n \sin \theta \\
& - 56 \cos(2\kappa_1) \cos^2(2\psi) \cos(2\theta) \cos \theta \sin(2\kappa_1) \sin(2\phi_n) \\
& - 8 \cos(2\kappa_1) \cos^2(2\psi) \cos \phi_n \sin \theta \\
& + 24 \cos(2\kappa_1) \cos^2(2\psi) \cos \theta \sin(2\kappa_1) \sin(2\phi_n) \\
& + 19 \cos(2\kappa_1) \cos(2\psi) \cos(2\theta) \cos \phi_n \sin \theta \\
& + 24 \cos(2\kappa_1) \cos(2\psi) \cos(2\theta) \cos \theta \sin \kappa_1 \sin(2\psi) \\
& + 7 \cos(2\kappa_1) \cos(2\psi) \cos(2\theta) \cos \theta \sin(2\kappa_1) \sin(2\phi_n) \\
& + \cos(2\kappa_1) \cos(2\psi) \cos \phi_n \sin \theta + 4 \cos(2\kappa_1) \cos \phi_n \sin \theta \\
& + 28 \cos(2\kappa_1) \cos(2\theta) \cos \phi_n \sin \theta \\
& - 24 \cos(2\kappa_1) \cos(2\psi) \cos \theta \sin \kappa_1 \sin(2\psi) \\
& - 3 \cos(2\kappa_1) \cos(2\psi) \cos \theta \sin(2\kappa_1) \sin(2\phi_n) \\
& + 21 \cos(2\kappa_1) \cos(2\theta) \cos \theta \sin \kappa_1 \sin(2\psi) \\
& + 28 \cos(2\kappa_1) \cos(2\theta) \cos \theta \sin(2\kappa_1) \sin(2\phi_n) \\
& - 21 \cos(2\kappa_1) \cos \theta \sin \kappa_1 \sin(2\psi) - \cos^2(2\phi_n) \cos \theta \sin \kappa_1 \sin(2\psi) \\
& - 12 \cos(2\kappa_1) \cos \theta \sin(2\kappa_1) \sin(2\phi_n) \\
& - 80 \cos^2(2\phi_n) \cos(2\psi) \cos(2\theta) \cos \theta \sin \kappa_1 \sin(2\psi) \\
& + 80 \cos^2(2\phi_n) \cos(2\psi) \cos \theta \sin \kappa_1 \sin(2\psi) \\
& + \cos^2(2\phi_n) \cos(2\theta) \cos \theta \sin \kappa_1 \sin(2\psi) \\
& - 24 \cos(2\phi_n) \cos^2(2\psi) \cos(2\theta) \cos \phi_n \sin \theta \\
& + 56 \cos(2\phi_n) \cos^2(2\psi) \cos(2\theta) \cos \theta \sin(2\kappa_1) \sin(2\phi_n) \\
& - 8 \cos(2\phi_n) \cos^2(2\psi) \cos \phi_n \sin \theta \\
& - 56 \cos(2\phi_n) \cos^2(2\psi) \cos \theta \sin(2\kappa_1) \sin(2\phi_n) \\
& + 3 \cos(2\phi_n) \cos(2\psi) \cos(2\theta) \cos \phi_n \sin \theta \\
& + 56 \cos(2\phi_n) \cos(2\psi) \cos(2\theta) \cos \theta \sin \kappa_1 \sin(2\psi) \\
& - \cos(2\phi_n) \cos(2\psi) \cos(2\theta) \cos \theta \sin(2\kappa_1) \sin(2\phi_n) \\
& + \cos(2\phi_n) \cos(2\psi) \cos \phi_n \sin \theta \\
& - 24 \cos(2\phi_n) \cos(2\psi) \cos \theta \sin \kappa_1 \sin(2\psi) \\
& + \cos(2\phi_n) \cos(2\psi) \cos \theta \sin(2\kappa_1) \sin(2\phi_n) \\
& + 12 \cos(2\phi_n) \cos(2\theta) \cos \phi_n \sin \theta \\
& - 16 \cos(2\phi_n) \cos(2\theta) \cos \theta \sin \kappa_1 \sin(2\psi) \\
& - 28 \cos(2\phi_n) \cos(2\theta) \cos \theta \sin(2\kappa_1) \sin(2\phi_n) \\
& + 4 \cos(2\phi_n) \cos \phi_n \sin \theta + 12 \cos(2\phi_n) \cos \theta \sin \kappa_1 \sin(2\psi)
\end{aligned}$$

$$\begin{aligned}
& +28 \cos(2\phi_n) \cos \theta \sin(2\kappa_1) \sin(2\phi_n) \\
& +40 \cos^2(2\psi) \cos(2\theta) \cos \phi_n \sin \theta \\
& -56 \cos^2(2\psi) \cos(2\theta) \cos \theta \sin(2\kappa_1) \sin(2\phi_n) \\
& +24 \cos^2(2\psi) \cos \phi_n \sin \theta + 24 \cos^2(2\psi) \cos \theta \sin(2\kappa_1) \sin(2\phi_n) \\
& -5 \cos(2\psi) \cos(2\theta) \cos \phi_n \sin \theta - 3 \cos(2\psi) \cos \phi_n \sin \theta \\
& +40 \cos(2\psi) \cos(2\theta) \cos \theta \sin \kappa_1 \sin(2\psi) \\
& +13 \cos(2\psi) \cos(2\theta) \cos \theta \sin(2\kappa_1) \sin(2\phi_n) \\
& -40 \cos(2\psi) \cos \theta \sin \kappa_1 \sin(2\psi) - 12 \cos \phi_n \sin \theta \\
& -3 \cos(2\psi) \cos \theta \sin(2\kappa_1) \sin(2\phi_n) - 20 \cos(2\theta) \cos \phi_n \sin \theta \\
& +7 \cos(2\theta) \cos \theta \sin \kappa_1 \sin(2\psi) - 7 \cos \theta \sin \kappa_1 \sin(2\psi) \\
& +28 \cos(2\theta) \cos \theta \sin(2\kappa_1) \sin(2\phi_n) - 12 \cos \theta \sin(2\kappa_1) \sin(2\phi_n))/6 \\
& +6(-2 \cos \kappa_1 \sin(2\psi) \sin \phi_n \sin \theta - 2 \cos(2\kappa_1) \cos(2\psi) \cos \phi_n \sin \theta \\
& +2 \cos(2\phi_n) \cos \theta \sin \kappa_1 \sin(2\psi) - \cos(2\psi) \cos \theta \sin(2\kappa_1) \sin(2\phi_n)) \quad (\text{B.17})
\end{aligned}$$

$$\begin{aligned}
h_{\times}^{1,2} = & ((1 - 3\eta)(144 \cos \kappa_1 \cos(2\kappa_1) \cos^2(2\phi_n) \cos(2\psi) \cos(2\theta) \cos \theta \sin(2\psi) \\
& - 144 \cos \kappa_1 \cos(2\kappa_1) \cos^2(2\phi_n) \cos(2\psi) \cos \theta \sin(2\psi) \\
& - 9 \cos \kappa_1 \cos(2\kappa_1) \cos^2(2\phi_n) \cos(2\theta) \cos \theta \sin(2\psi) \\
& + 9 \cos \kappa_1 \cos(2\kappa_1) \cos^2(2\phi_n) \cos \theta \sin(2\psi) \\
& - 504 \cos \kappa_1 \cos(2\kappa_1) \cos(2\phi_n) \cos(2\psi) \cos(2\theta) \cos \theta \sin(2\psi) \\
& + 216 \cos \kappa_1 \cos(2\kappa_1) \cos(2\phi_n) \cos(2\psi) \cos \theta \sin(2\psi) \\
& + 72 \cos \kappa_1 \cos(2\kappa_1) \cos(2\phi_n) \cos(2\theta) \cos \theta \sin(2\psi) \\
& - 72 \cos \kappa_1 \cos(2\kappa_1) \cos(2\psi) \cos(2\theta) \cos \theta \sin(2\psi) \\
& + 72 \cos \kappa_1 \cos(2\kappa_1) \cos(2\psi) \cos \theta \sin(2\psi) \\
& - 63 \cos \kappa_1 \cos(2\kappa_1) \cos(2\theta) \cos \theta \sin(2\psi) \\
& + 63 \cos \kappa_1 \cos(2\kappa_1) \cos \theta \sin(2\psi) + 48 \cos^2(2\kappa_1) \cos \theta \sin(2\phi_n) \\
& - 16 \cos \kappa_1 \cos^2(2\phi_n) \cos(2\psi) \cos(2\theta) \cos \theta \sin(2\psi) \\
& + 16 \cos \kappa_1 \cos^2(2\phi_n) \cos(2\psi) \cos \theta \sin(2\psi) \\
& + 5 \cos \kappa_1 \cos^2(2\phi_n) \cos(2\theta) \cos \theta \sin(2\psi) \\
& - 5 \cos \kappa_1 \cos^2(2\phi_n) \cos \theta \sin(2\psi) \\
& + 280 \cos \kappa_1 \cos(2\phi_n) \cos(2\psi) \cos(2\theta) \cos \theta \sin(2\psi) \\
& - 120 \cos \kappa_1 \cos(2\phi_n) \cos(2\psi) \cos \theta \sin(2\psi) \\
& - 32 \cos \kappa_1 \cos(2\phi_n) \cos(2\theta) \cos \theta \sin(2\psi) \\
& - 12 \cos \kappa_1 \cos(2\phi_n) \cos \theta \sin(2\psi) - 35 \cos \kappa_1 \cos \theta \sin(2\psi) \\
& + 8 \cos \kappa_1 \cos(2\psi) \cos(2\theta) \cos \theta \sin(2\psi) \\
& - 8 \cos \kappa_1 \cos(2\psi) \cos \theta \sin(2\psi) + 35 \cos \kappa_1 \cos(2\theta) \cos \theta \sin(2\psi) \\
& - 32 \cos^2(2\kappa_1) \cos(2\phi_n) \cos^2(2\psi) \cos(2\theta) \cos \theta \sin(2\phi_n) \\
& + 32 \cos^2(2\kappa_1) \cos(2\phi_n) \cos^2(2\psi) \cos \theta \sin(2\phi_n) \\
& + 4 \cos^2(2\kappa_1) \cos(2\phi_n) \cos(2\psi) \cos(2\theta) \cos \theta \sin(2\phi_n) \\
& - 4 \cos^2(2\kappa_1) \cos(2\phi_n) \cos(2\psi) \cos \theta \sin(2\phi_n) \\
& + 16 \cos^2(2\kappa_1) \cos(2\phi_n) \cos(2\theta) \cos \theta \sin(2\phi_n) \\
& - 16 \cos^2(2\kappa_1) \cos(2\phi_n) \cos \theta \sin(2\phi_n) \\
& + 224 \cos^2(2\kappa_1) \cos^2(2\psi) \cos(2\theta) \cos \theta \sin(2\phi_n) \\
& - 96 \cos^2(2\kappa_1) \cos^2(2\psi) \cos \theta \sin(2\phi_n) \\
& - 28 \cos^2(2\kappa_1) \cos(2\psi) \cos(2\theta) \cos \theta \sin(2\phi_n) \\
& + 12 \cos^2(2\kappa_1) \cos(2\psi) \cos \theta \sin(2\phi_n) \\
& - 112 \cos^2(2\kappa_1) \cos(2\theta) \cos \theta \sin(2\phi_n) \\
& + 192 \cos(2\kappa_1) \cos(2\phi_n) \cos^2(2\psi) \cos(2\theta) \cos \phi_n \sin(2\kappa_1) \sin \theta \\
& - 112 \cos(2\kappa_1) \cos(2\phi_n) \cos^2(2\psi) \cos(2\theta) \cos \theta \sin(2\phi_n) \\
& + 64 \cos(2\kappa_1) \cos(2\phi_n) \cos^2(2\psi) \cos \phi_n \sin(2\kappa_1) \sin \theta \\
& + 112 \cos(2\kappa_1) \cos(2\phi_n) \cos^2(2\psi) \cos \theta \sin(2\phi_n) \\
& - 24 \cos(2\kappa_1) \cos(2\phi_n) \cos(2\psi) \cos(2\theta) \cos \phi_n \sin(2\kappa_1) \sin \theta \\
& + 2 \cos(2\kappa_1) \cos(2\phi_n) \cos(2\psi) \cos(2\theta) \cos \theta \sin(2\phi_n)
\end{aligned}$$

$$\begin{aligned}
& +648 \cos(2\kappa_1) \cos(2\phi_n) \cos(2\psi) \cos(2\theta) \sin \kappa_1 \sin(2\psi) \sin \phi_n \sin \theta \\
& -8 \cos(2\kappa_1) \cos(2\phi_n) \cos(2\psi) \cos \phi_n \sin(2\kappa_1) \sin \theta \\
& -2 \cos(2\kappa_1) \cos(2\phi_n) \cos(2\psi) \cos \theta \sin(2\phi_n) \\
& +216 \cos(2\kappa_1) \cos(2\phi_n) \cos(2\psi) \sin \kappa_1 \sin(2\psi) \sin \phi_n \sin \theta \\
& -96 \cos(2\kappa_1) \cos(2\phi_n) \cos(2\theta) \cos \phi_n \sin(2\kappa_1) \sin \theta \\
& +56 \cos(2\kappa_1) \cos(2\phi_n) \cos(2\theta) \cos \theta \sin(2\phi_n) \\
& -54 \cos(2\kappa_1) \cos(2\phi_n) \cos(2\theta) \sin \kappa_1 \sin(2\psi) \sin \phi_n \sin \theta \\
& -32 \cos(2\kappa_1) \cos(2\phi_n) \cos \phi_n \sin(2\kappa_1) \sin \theta \\
& -56 \cos(2\kappa_1) \cos(2\phi_n) \cos \theta \sin(2\phi_n) \\
& -54 \cos(2\kappa_1) \cos(2\phi_n) \sin \kappa_1 \sin(2\psi) \sin \phi_n \sin \theta \\
& -320 \cos(2\kappa_1) \cos^2(2\psi) \cos(2\theta) \cos \phi_n \sin(2\kappa_1) \sin \theta \\
& +112 \cos(2\kappa_1) \cos^2(2\psi) \cos(2\theta) \cos \theta \sin(2\phi_n) \\
& -192 \cos(2\kappa_1) \cos^2(2\psi) \cos \phi_n \sin(2\kappa_1) \sin \theta \\
& -48 \cos(2\kappa_1) \cos^2(2\psi) \cos \theta \sin(2\phi_n) \\
& +40 \cos(2\kappa_1) \cos(2\psi) \cos(2\theta) \cos \phi_n \sin(2\kappa_1) \sin \theta \\
& -26 \cos(2\kappa_1) \cos(2\psi) \cos(2\theta) \cos \theta \sin(2\phi_n) \\
& +72 \cos(2\kappa_1) \cos(2\psi) \cos(2\theta) \sin \kappa_1 \sin(2\psi) \sin \phi_n \sin \theta \\
& +24 \cos(2\kappa_1) \cos(2\psi) \cos \phi_n \sin(2\kappa_1) \sin \theta \\
& +6 \cos(2\kappa_1) \cos(2\psi) \cos \theta \sin(2\phi_n) \\
& -72 \cos(2\kappa_1) \cos(2\psi) \sin \kappa_1 \sin(2\psi) \sin \phi_n \sin \theta \\
& +160 \cos(2\kappa_1) \cos(2\theta) \cos \phi_n \sin(2\kappa_1) \sin \theta \\
& -56 \cos(2\kappa_1) \cos(2\theta) \cos \theta \sin(2\phi_n) \\
& +90 \cos(2\kappa_1) \cos(2\theta) \sin \kappa_1 \sin(2\psi) \sin \phi_n \sin \theta \\
& +96 \cos(2\kappa_1) \cos \phi_n \sin(2\kappa_1) \sin \theta + 24 \cos(2\kappa_1) \cos \theta \sin(2\phi_n) \\
& +18 \cos(2\kappa_1) \sin \kappa_1 \sin(2\psi) \sin \phi_n \sin \theta \\
& +336 \cos(2\phi_n) \cos^2(2\psi) \cos(2\theta) \cos \phi_n \sin(2\kappa_1) \sin \theta \\
& +16 \cos(2\phi_n) \cos^2(2\psi) \cos(2\theta) \cos \theta \sin(2\phi_n) \\
& +112 \cos(2\phi_n) \cos^2(2\psi) \cos \phi_n \sin(2\kappa_1) \sin \theta \\
& -16 \cos(2\phi_n) \cos^2(2\psi) \cos \theta \sin(2\phi_n) \\
& -18 \cos(2\phi_n) \cos(2\psi) \cos(2\theta) \cos \phi_n \sin(2\kappa_1) \sin \theta \\
& -2 \cos(2\phi_n) \cos(2\psi) \cos(2\theta) \cos \theta \sin(2\phi_n) \\
& +408 \cos(2\phi_n) \cos(2\psi) \cos(2\theta) \sin \kappa_1 \sin(2\psi) \sin \phi_n \sin \theta \\
& -38 \cos(2\phi_n) \cos(2\psi) \cos \phi_n \sin(2\kappa_1) \sin \theta \\
& +2 \cos(2\phi_n) \cos(2\psi) \cos \theta \sin(2\phi_n) \\
& +136 \cos(2\phi_n) \cos(2\psi) \sin \kappa_1 \sin(2\psi) \sin \phi_n \sin \theta \\
& -168 \cos(2\phi_n) \cos(2\theta) \cos \phi_n \sin(2\kappa_1) \sin \theta \\
& -8 \cos(2\phi_n) \cos(2\theta) \cos \theta \sin(2\phi_n) \\
& -30 \cos(2\phi_n) \cos(2\theta) \sin \kappa_1 \sin(2\psi) \sin \phi_n \sin \theta
\end{aligned}$$

$$\begin{aligned}
& -56 \cos(2\phi_n) \cos \phi_n \sin(2\kappa_1) \sin \theta + 8 \cos(2\phi_n) \cos \theta \sin(2\phi_n) \\
& -38 \cos(2\phi_n) \sin \kappa_1 \sin(2\psi) \sin \phi_n \sin \theta \\
& -112 \cos^2(2\psi) \cos(2\theta) \cos \phi_n \sin(2\kappa_1) \sin \theta \\
& -112 \cos^2(2\psi) \cos(2\theta) \cos \theta \sin(2\phi_n) \\
& -16 \cos^2(2\psi) \cos \phi_n \sin(2\kappa_1) \sin \theta + 48 \cos^2(2\psi) \cos \theta \sin(2\phi_n) \\
& +38 \cos(2\psi) \cos(2\theta) \cos \phi_n \sin(2\kappa_1) \sin \theta \\
& +14 \cos(2\psi) \cos(2\theta) \cos \theta \sin(2\phi_n) \\
& +120 \cos(2\psi) \cos(2\theta) \sin \kappa_1 \sin(2\psi) \sin \phi_n \sin \theta \\
& +2 \cos(2\psi) \cos \phi_n \sin(2\kappa_1) \sin \theta - 6 \cos(2\psi) \cos \theta \sin(2\phi_n) \\
& +8 \cos(2\psi) \sin \kappa_1 \sin(2\psi) \sin \phi_n \sin \theta + 56 \cos(2\theta) \cos \phi_n \sin(2\kappa_1) \sin \theta \\
& +56 \cos(2\theta) \cos \theta \sin(2\phi_n) + 42 \cos(2\theta) \sin \kappa_1 \sin(2\psi) \sin \phi_n \sin \theta \\
& +8 \cos \phi_n \sin(2\kappa_1) \sin \theta - 24 \cos \theta \sin(2\phi_n) \\
& -10 \sin \kappa_1 \sin(2\psi) \sin \phi_n \sin \theta)/12 \\
& +6(-\cos \kappa_1 \cos(2\phi_n) \cos \theta \sin(2\psi) \\
& +\cos(2\kappa_1) \cos(2\psi) \cos \theta \sin(2\phi_n) - 2 \cos(2\psi) \cos \phi_n \sin(2\kappa_1) \sin \theta \\
& -\sin \kappa_1 \sin(2\psi) \sin \phi_n \sin \theta)
\end{aligned} \tag{B.18}$$

$$h_+^{1SO\ 0} = (2 \sin \theta \eta (\cos \kappa_1 \cos \phi_n \sin \psi - \cos \psi \sin \phi_n)) \tag{B.19}$$

$$\begin{aligned}
h_+^{1SO\ 1} = & (2\eta(-\cos \kappa_1 \cos(2\phi_n) \cos \phi_1 \cos \theta \sin \psi \\
& -\cos \kappa_1 \cos \theta \sin(2\phi_n) \sin \phi_1 \sin \psi + \cos \phi_n \sin \kappa_1 \sin \psi \sin \theta \\
& -\cos(2\phi_n) \cos \psi \cos \theta \sin \phi_1 + \cos \phi_1 \cos \psi \cos \theta \sin(2\phi_n) \\
& -\cos \phi_1 \sin \kappa_1 \sin \phi_n \sin \psi \sin \theta + \cos \phi_n \sin \kappa_1 \sin \phi_1 \sin \psi \sin \theta))
\end{aligned} \tag{B.20}$$

$$\begin{aligned}
h_+^{1SO\ 2} = & (\eta(2 \cos \kappa_1 \cos \phi_1 \sin \phi_n \sin \psi \sin \theta - 2 \cos \kappa_1 \cos \phi_n \sin \phi_1 \sin \psi \sin \theta \\
& -2 \cos \kappa_1 \cos \phi_n \sin \psi \sin \theta - 2 \cos(2\phi_n) \cos \phi_1 \cos \theta \sin \kappa_1 \sin \psi \\
& +\cos \psi \sin \phi_n \sin \theta - 2 \cos \theta \sin \kappa_1 \sin(2\phi_n) \sin \phi_1 \sin \psi))
\end{aligned} \tag{B.21}$$

$$\begin{aligned}
h_\times^{1SO\ 0} = & (\eta(-\cos \kappa_1 \sin(2\theta) \sin \phi_n \sin \psi - \cos(2\theta) \sin \kappa_1 \sin \psi \\
& -\cos \phi_n \cos \psi \sin(2\theta) + \sin \kappa_1 \sin \psi))
\end{aligned} \tag{B.22}$$

$$\begin{aligned}
h_\times^{1SO\ 1} = & (\eta(-\cos \kappa_1 \cos(2\phi_n) \cos(2\theta) \sin \phi_1 \sin \psi \\
& -3 \cos \kappa_1 \cos(2\phi_n) \sin \phi_1 \sin \psi \\
& +\cos \kappa_1 \cos(2\theta) \cos \phi_1 \sin(2\phi_n) \sin \psi \\
& +\cos \kappa_1 \cos(2\theta) \sin \phi_1 \sin \psi + 2 \cos \kappa_1 \cos(2\theta) \sin \psi \\
& +3 \cos \kappa_1 \cos \phi_1 \sin(2\phi_n) \sin \psi - \cos \kappa_1 \sin \phi_1 \sin \psi \\
& -2 \cos \kappa_1 \sin \psi + \cos(2\phi_n) \cos(2\theta) \cos \phi_1 \cos \psi \\
& +3 \cos(2\phi_n) \cos \phi_1 \cos \psi + \cos(2\theta) \cos \phi_1 \cos \psi \\
& +\cos(2\theta) \cos \psi \sin(2\phi_n) \sin \phi_1 + 3 \cos \psi \sin(2\phi_n) \sin \phi_1 \\
& -2 \cos \phi_1 \cos \phi_n \sin \kappa_1 \sin(2\theta) \sin \psi - \cos \phi_1 \cos \psi \\
& -2 \sin \kappa_1 \sin(2\theta) \sin \phi_1 \sin \phi_n \sin \psi - 2 \sin \kappa_1 \sin(2\theta) \sin \phi_n \sin \psi))/2
\end{aligned} \tag{B.23}$$

$$\begin{aligned}
h_x^{1SO \ 2} = & (\eta(2 \cos \kappa_1 \cos \phi_1 \cos \phi_n \sin(2\theta) \sin \psi \\
& + 2 \cos \kappa_1 \sin(2\theta) \sin \phi_1 \sin \phi_n \sin \psi \\
& + 2 \cos \kappa_1 \sin(2\theta) \sin \phi_n \sin \psi + 2 \cos(2\theta) \sin \kappa_1 \sin \psi \\
& - \cos(2\phi_n) \cos(2\theta) \sin \kappa_1 \sin \phi_1 \sin \psi \\
& - 3 \cos(2\phi_n) \sin \kappa_1 \sin \phi_1 \sin \psi \\
& + \cos(2\theta) \cos \phi_1 \sin \kappa_1 \sin(2\phi_n) \sin \psi \\
& + \cos(2\theta) \sin \kappa_1 \sin \phi_1 \sin \psi + 3 \cos \phi_1 \sin \kappa_1 \sin(2\phi_n) \sin \psi \\
& + \cos \phi_n \cos \psi \sin(2\theta) - \sin \kappa_1 \sin \phi_1 \sin \psi - 2 \sin \kappa_1 \sin \psi)) / 2 \quad (\text{B.24})
\end{aligned}$$

Irodalomjegyzék

- [1] <http://www.ligo.caltech.edu>
- [2] R. D. Blandford, H. Netzer, L. Woltjer, Active Galactic Nuclei: Saas-Fee Advanced Course 20. Lecture Notes 1990. Swiss Society For Astrophysics And Astronomy, Springer (2008).
- [3] http://www.esa.int/esaSC/120397_index_0_m.html
- [4] http://imagine.gsfc.nasa.gov/docs/science/know_l2/active_galaxies.html
- [5] <http://lisa.nasa.gov/>
- [6] L. Á. Gergely, P. L. Biermann, *Astrophys. J.* **697**, 1621 (2009).
- [7] K. S. Thorne, *Rev. Mod. Phys.* **52**, 299 (1980).
- [8] L. Kidder, *Phys. Rev. D* **52**, 821 (1995).
- [9] L. Á. Gergely, Z. I. Perjés, M. Vasúth, *Phys. Rev. D* **58** 124001 (1998).
- [10] Z. Keresztes, B. Mikóczi, L. Á. Gergely, M. Vasúth, *J. Phys. Conf. Ser.* **228**, 012053 (2010).
- [11] L. Á. Gergely, *Phys. Rev. D* **81**, 084025 (2010).
- [12] K. G. Arun, A. Buonanno, G. Faye, E. Ochsner, *Phys. Rev. D* **79**, 104023 (2009).
- [13] B. Mikóczi, M. Vasúth, L. Á. Gergely, *Phys. Rev. D* **71**, 124043 (2005).
- [14] <http://www.srl.caltech.edu/~shane/sensitivity/MakeCurve.html>
- [15] <http://www.slac.stanford.edu/econf/C0507252/papers/T023.PDF>
- [16] J. Stuart B. Wyithe, A. Loeb, *Astrophys. J.* **590**, 691 (2003).
- [17] V. Mukhanov, Physical Foundations of Cosmology, Cambridge Univ. Press (2005).
- [18] E. Komatsu, J. Dunkley, M. R. Nolta, C. L. Bennett, B. Gold, G. Hinshaw, N. Jarosik, D. Larson, M. Limon, L. Page, D. N. Spergel, M. Halpern, R. S. Hill, A. Kogut, S. S. Meyer, G. S. Tucker, J. L. Weiland, E. Wollack, E. L. Wright, *Astrophys. J. Suppl.* **180**, 330 (2009).